



上海交通大学
SHANGHAI JIAO TONG UNIVERSITY



第五讲

参数化时频变换

General Parameterized Time-frequency Transform

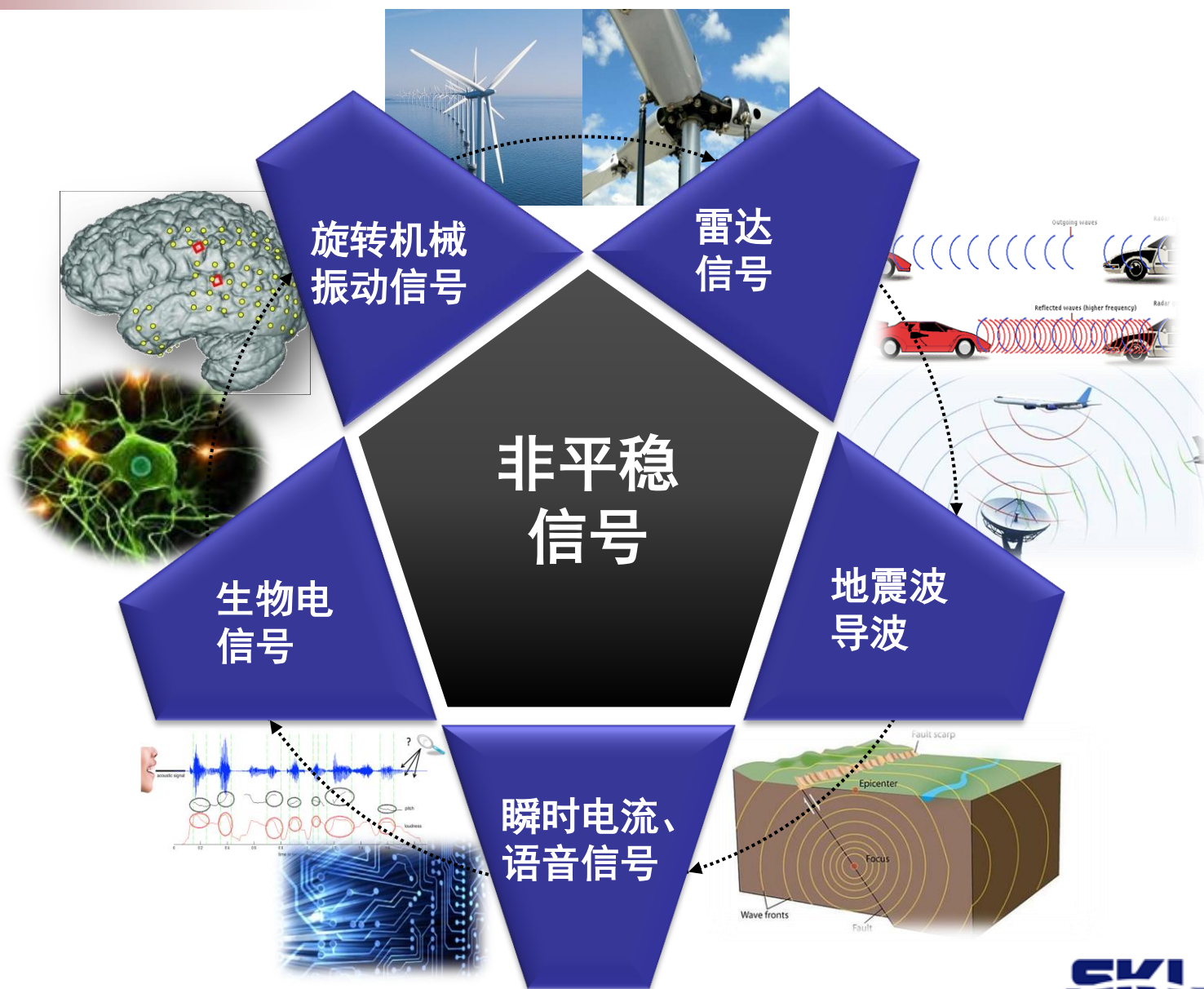
彭志科

Email: z.peng@sjtu.edu.cn

上海交通大学

机械系统与振动国家重点实验室

研究背景及意义



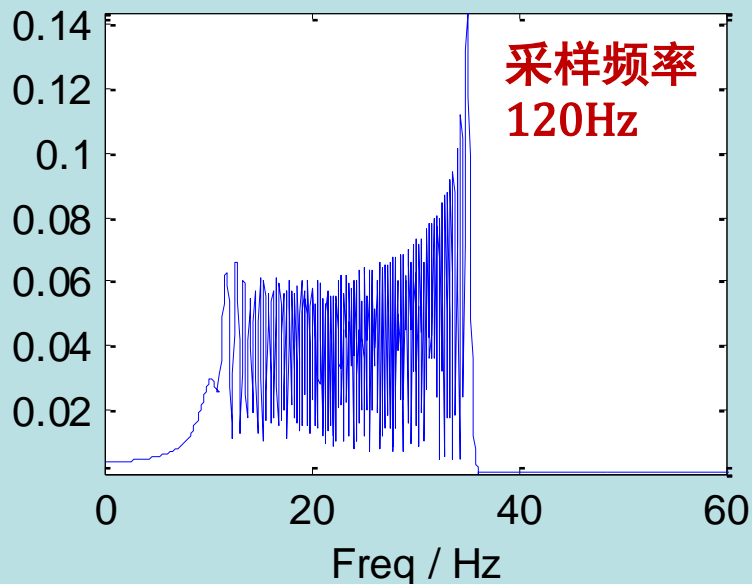
非平稳信号

特点： 非平稳信号的频率常随时间变化

例1：

$$s(t) = \sin\left(2\pi\left(10t + \frac{5}{4}t^2 + \frac{1}{9}t^3 - \frac{1}{120}t^4\right)\right) \quad (0 \leq t \leq 15)$$

$$f(t) = 10 + 2.5t + t^2 / 3 - t^3 / 30 \quad (\text{Hz})$$



Fourier变换

- 1) 能反映信号的频率范围
- 2) 不能反映频率随时间变化的变化规律

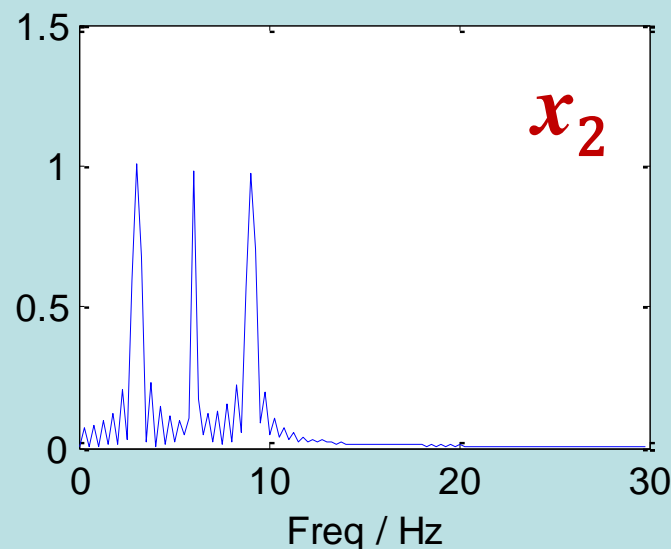
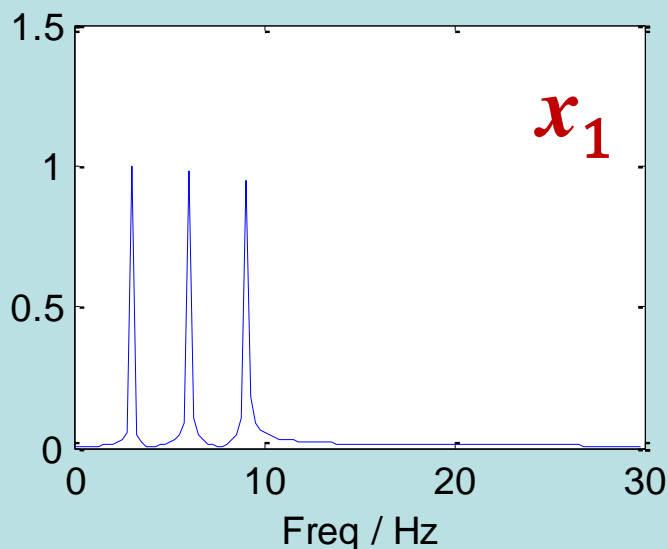
非平稳信号

例2:

$$x_1(t) = \sin(6\pi t) + \sin(12\pi t) + \sin(18\pi t) \quad 0 \leq t < 2s$$

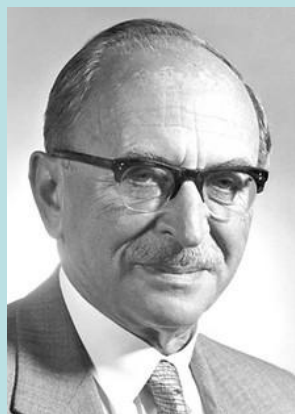
$$x_2(t) = \begin{cases} 2\sin(6\pi t) + \sin(12\pi t) & 0 \leq t < 2s \\ \sin(12\pi t) + 2\sin(18\pi t) & 2 \leq t \leq 4s \end{cases}$$

Fourier
变换



- 1) 准确反映信号所含频率分量
- 2) 不能反映频率分量存在的时间段

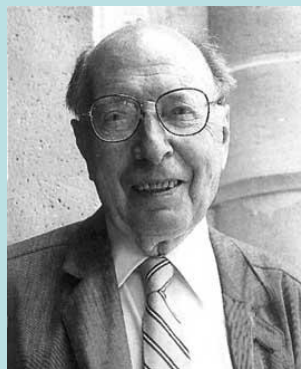
时频分析方法



短时傅立叶变换
(STFT)

D. Gabor 1946

Nobel Prize in
Physics 1971



Wigner-Ville分布
(WVD)

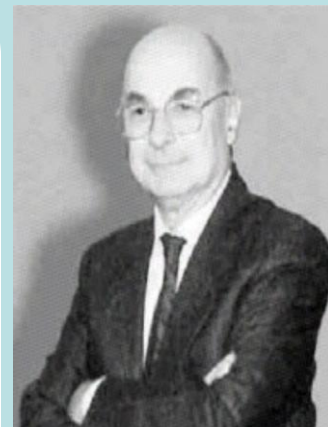
E.P Wigner 1932

J. Ville 1948

非平稳
信号

连续小波变换
(CWT)

J. Morlet 1984



线调频小波变换
(Chirplet)

S. Mann,
S. Haykin, 1991

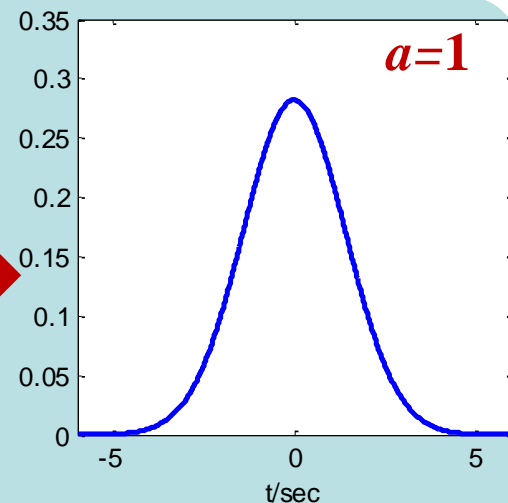


短时傅立叶变换

定义： $\text{STFT}_x(\tau, \omega) = \int_{-\infty}^{\infty} x(t)g(t-\tau)e^{-j\omega t} dt$

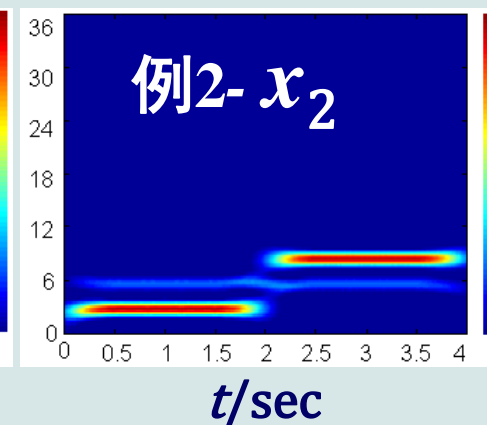
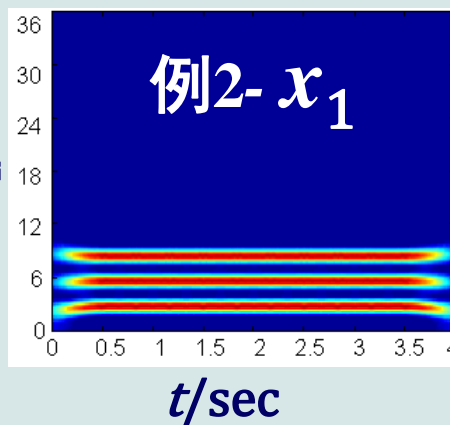
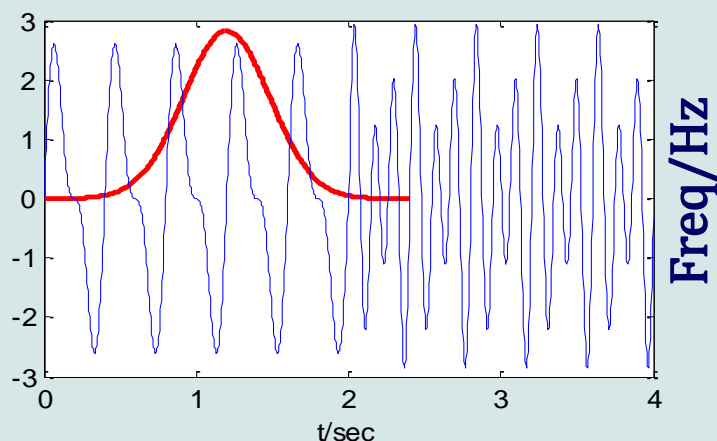
窗函数

$$g_a(t) = \frac{1}{2\sqrt{\pi a}} e^{-t^2/4a}$$



本质： 加窗傅立叶变换

适用对象： 分段平稳信号



连续小波变换

定义：

$$CWT_x(a, b; \psi) = \frac{1}{\sqrt{a}} \int_{-\infty}^{\infty} x(t) \psi\left(\frac{t-b}{a}\right) dt$$

母波函数

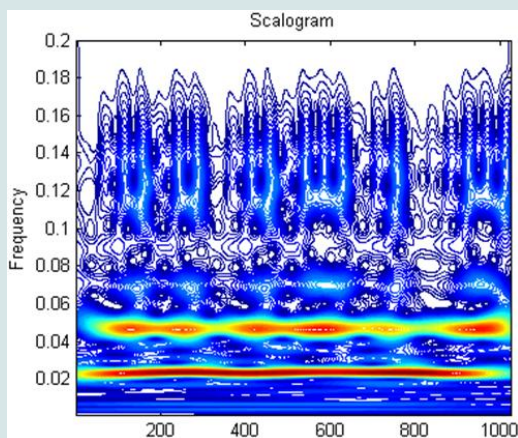
$$\psi(t) = \pi^{-1/4} e^{-j\omega_0 t} e^{-t^2/2}$$

本质： 变分辨率带通滤波

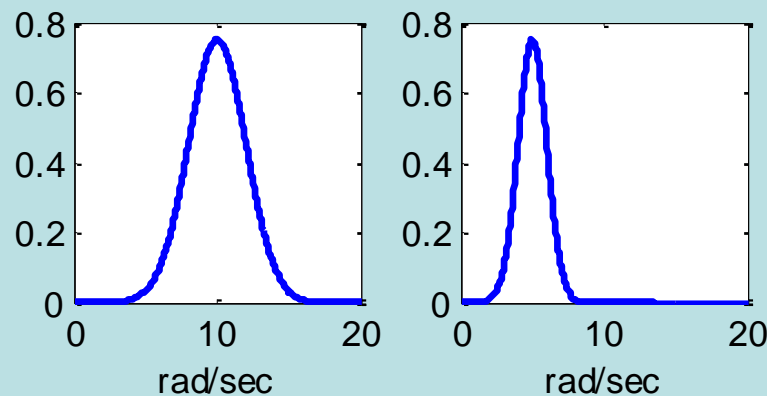
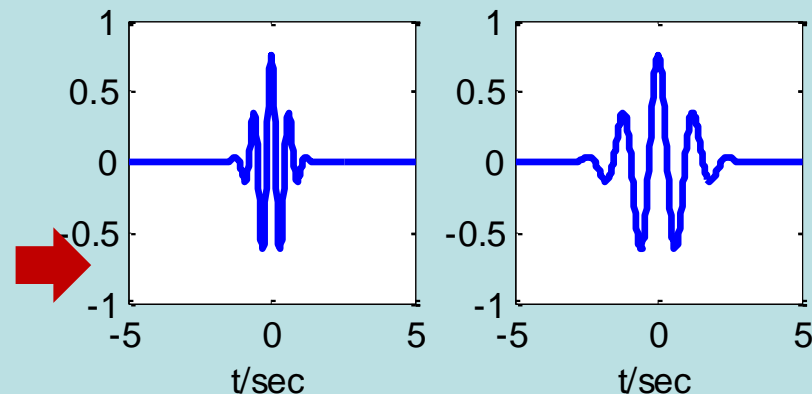
适用对象： 局部奇异性信号

示例

转子碰摩
故障典型
时频特征



$\omega_0 = 5$



$a = 0.5$

$a = 1$

Wigner-Ville分布

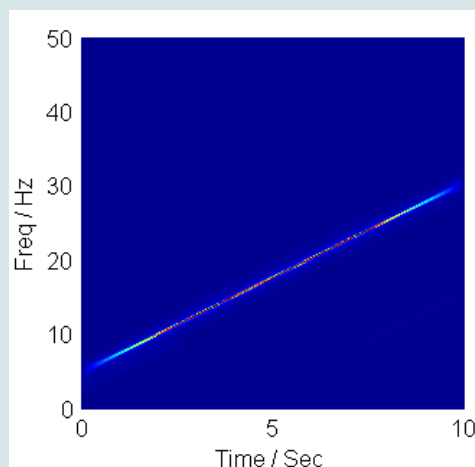
定义：

$$WVD_x(t, \omega) = \frac{1}{2\pi} \int_{-\infty}^{+\infty} x^* \left(t - \frac{1}{2} \tau \right) x \left(t + \frac{1}{2} \tau \right) e^{-j\tau\omega} d\tau$$

本质： 瞬时相关函数的傅立叶变换

适用对象： 单分量信号

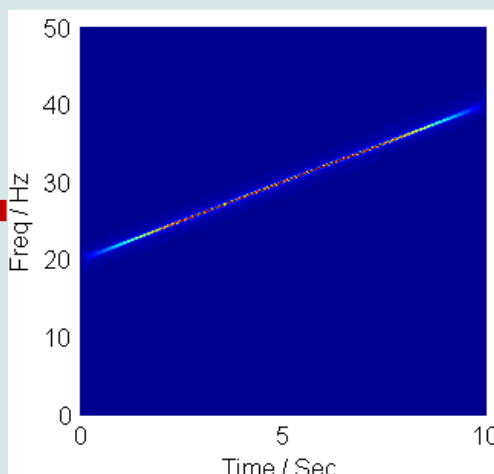
示例



单分量信号

x_1

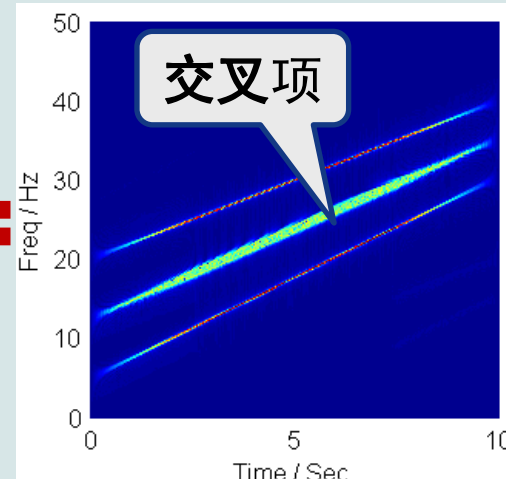
+



单分量信号

x_2

≠



多分量信号

x

+

=

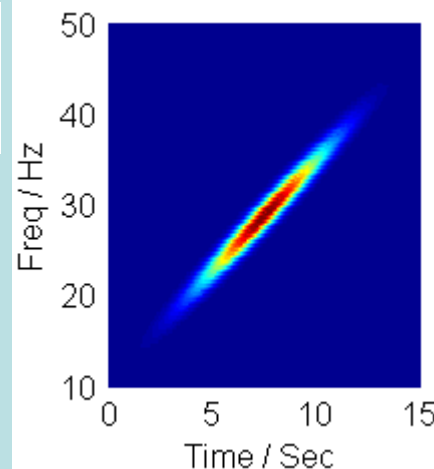
线调频小波变换

定义： $CT_x(t, \omega, \alpha) = \int_{-\infty}^{+\infty} x(t) \Psi_{(t, \alpha)}^*(\tau) e^{-j\omega\tau} d\tau$

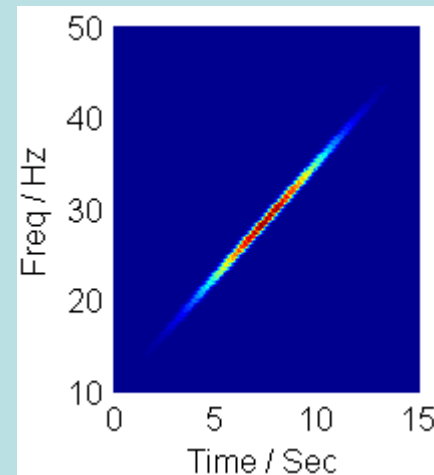
调频窗函数 $\Psi_{(t, \alpha)}(t) = g_a(t - \tau) e^{-j\frac{\alpha}{2}(t - \tau)^2}$

本质： 加调频窗的傅立叶变换

适用对象： 线性调频信号



STFT



Chirplet

示例



脉冲

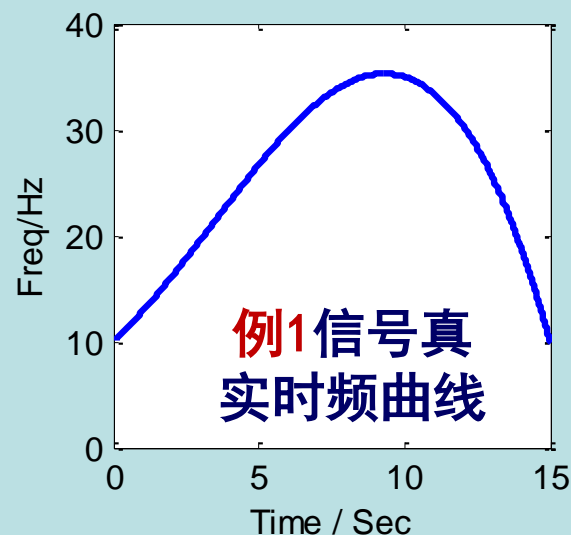
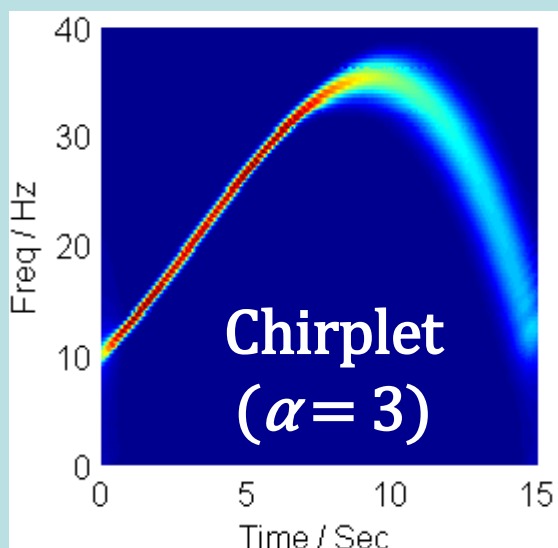
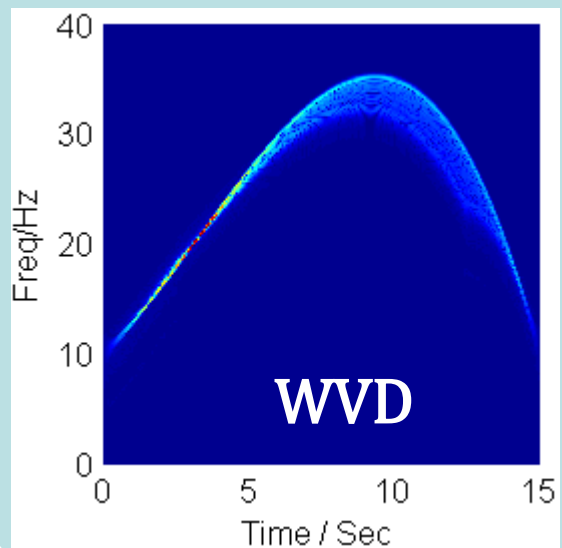
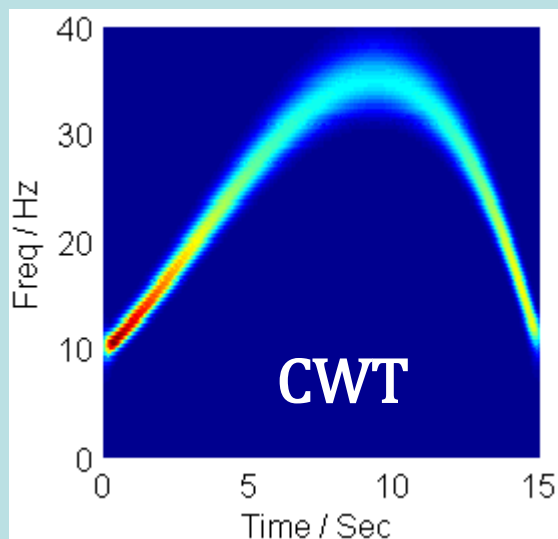
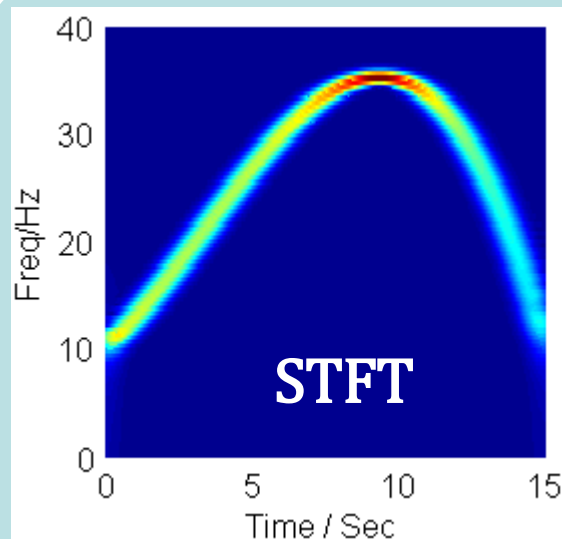
反射波



反射波信号简化模型

$$s(t) = \bar{A} e^{j\omega_c(t-\lambda) + j\gamma(t-\lambda)^2}$$

时频分析方法的不足

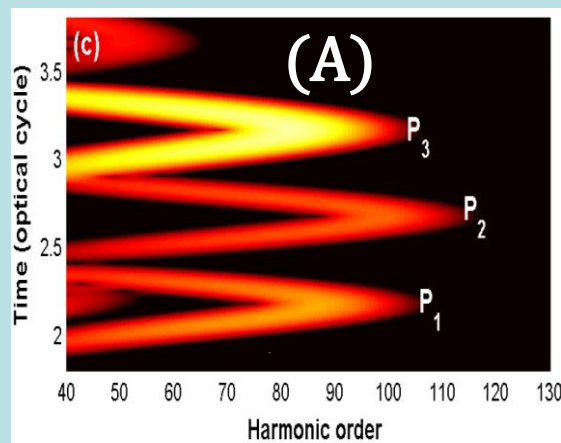


不足:

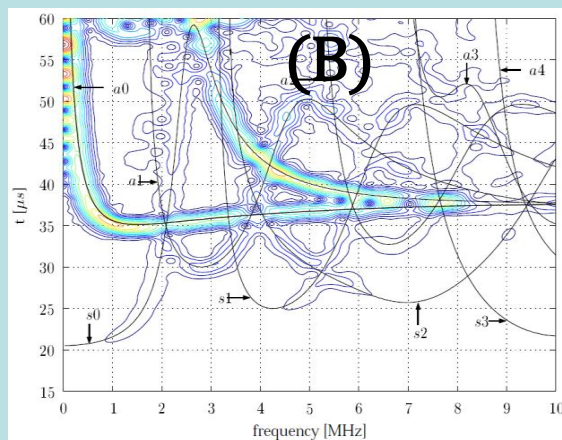
- 1) 不能正确反映分量的瞬时幅值
- 2) 集中性较差

非线性调频分量

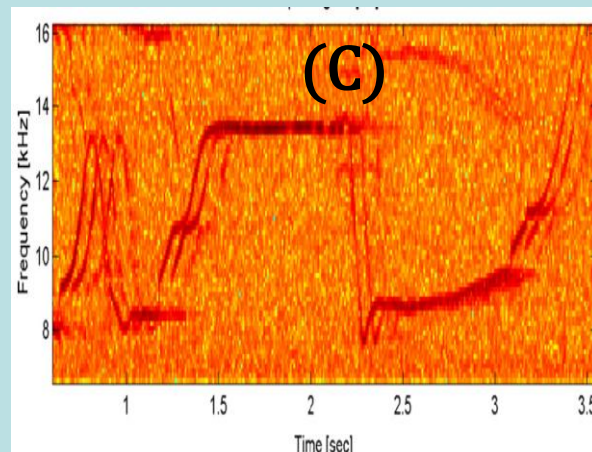
特点： 频率是时间的非线性函数



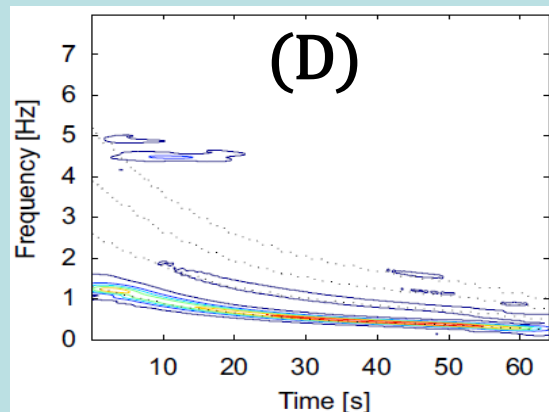
Opt Exp, 19(2011) 26174



J. Ac. Soc. Am. 107(2000), Pt.1

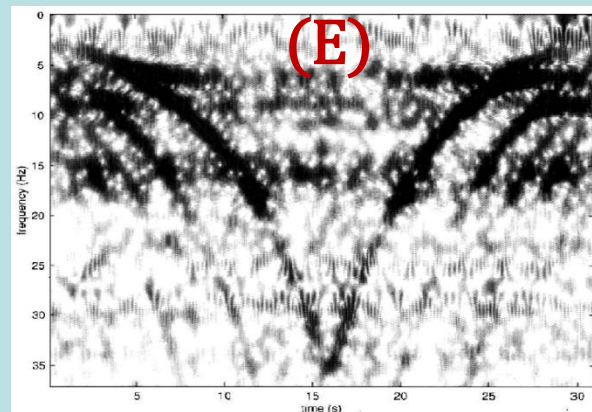


App. Ac. 71 (2010) 1070-1080



J S. Vib. 330 (2011)1225-1243

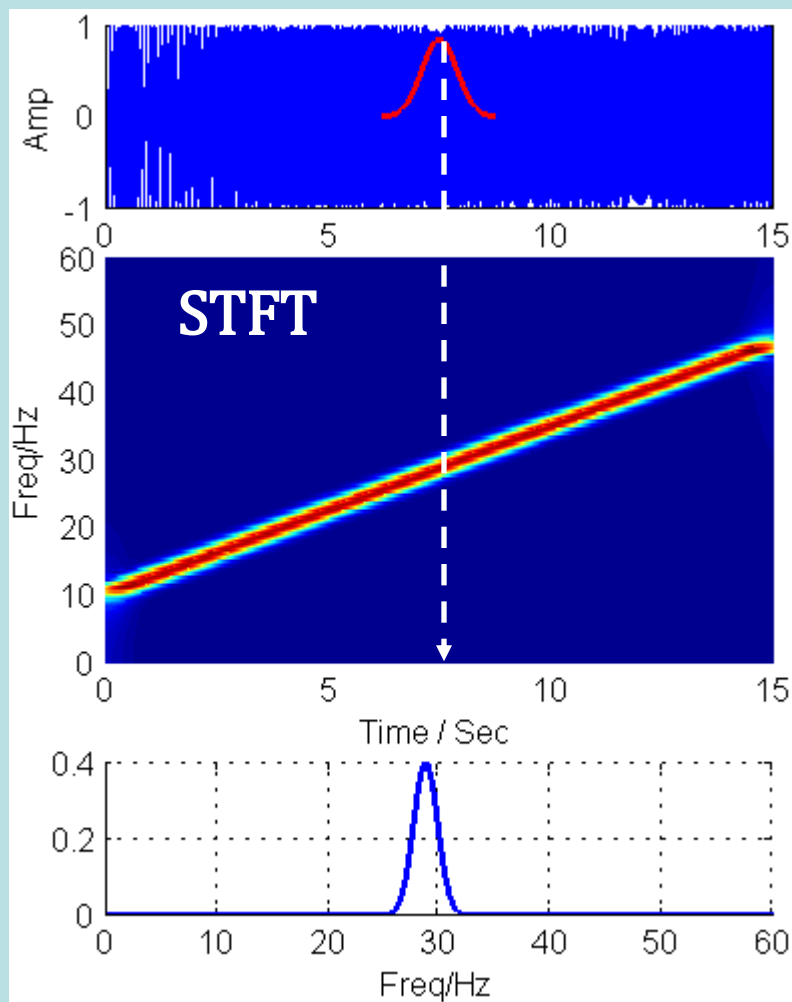
- (A) 激光脉冲信号
- (B) Lamb波信号
- (C) 鲸鱼声波
- (D) 水轮机停机振动信号
- (E) 战斗机机翼测试信号



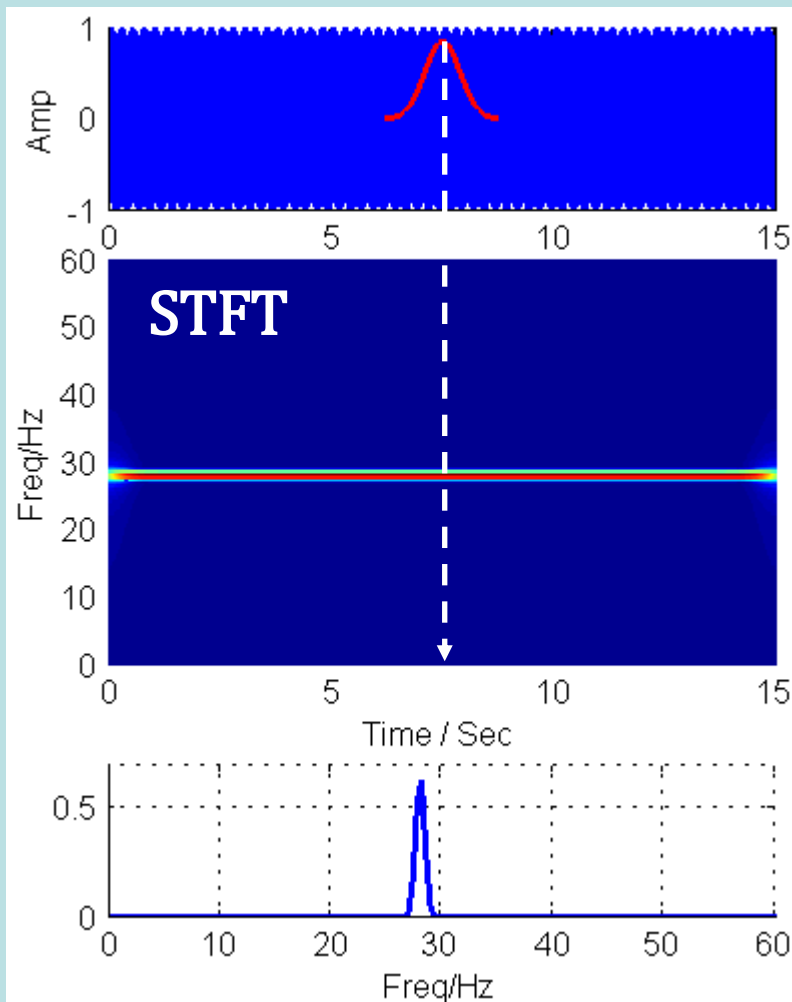
J. G. Con. DY 21(1998)375-382

参数化时频分析-原理

线调频信号



正弦信号



参数化时频分析-原理

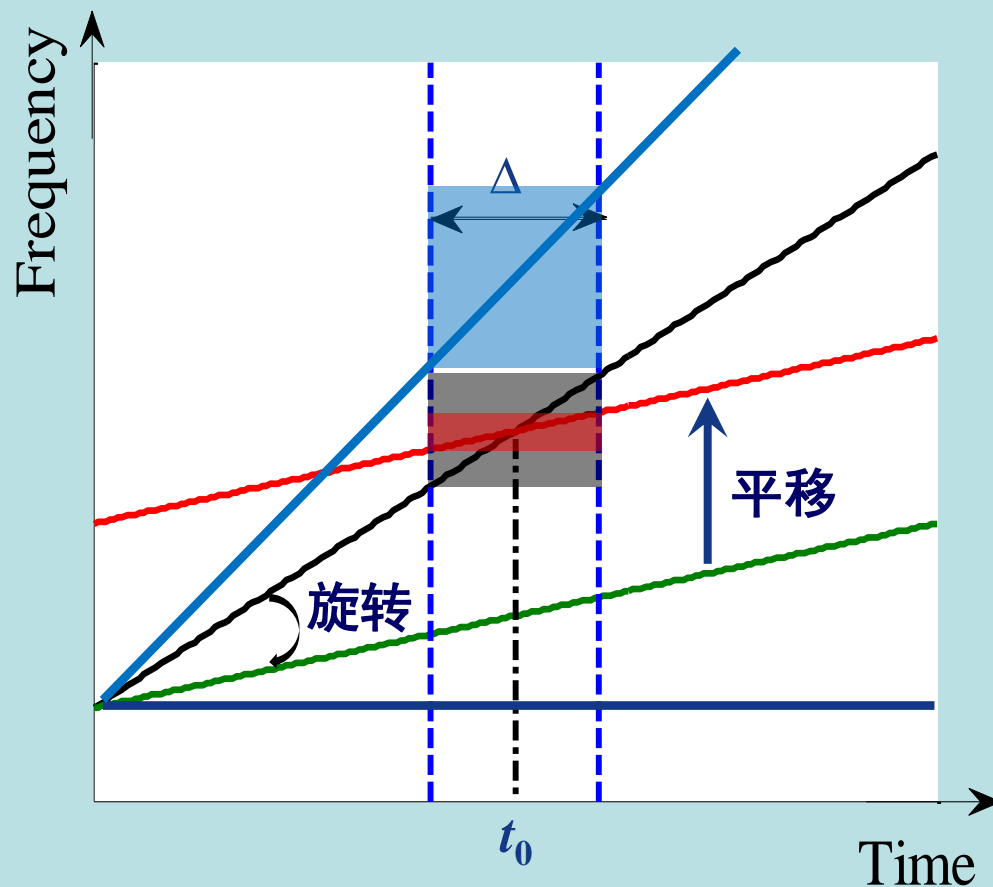
Chirplet 定义新表达

$$CT_s(t, \omega, \alpha)$$

$$= A(t) \int_{-\infty}^{+\infty} \bar{z}(\tau) g(\tau - t) e^{-j\omega\tau} d\tau$$

$$\begin{cases} \bar{z}(\tau) = s(\tau) \Phi_{\alpha}^R(\tau) \Phi_{\alpha}^M(\tau, t) \\ \Phi_{\alpha}^R(\tau) = e^{-j\alpha\tau^2/2} & \text{旋转算子} \\ \Phi_{\alpha}^M(\tau, t) = e^{j\alpha\tau t} & \text{平移算子} \\ A(t) = e^{-jt^2\alpha/2} \end{cases}$$

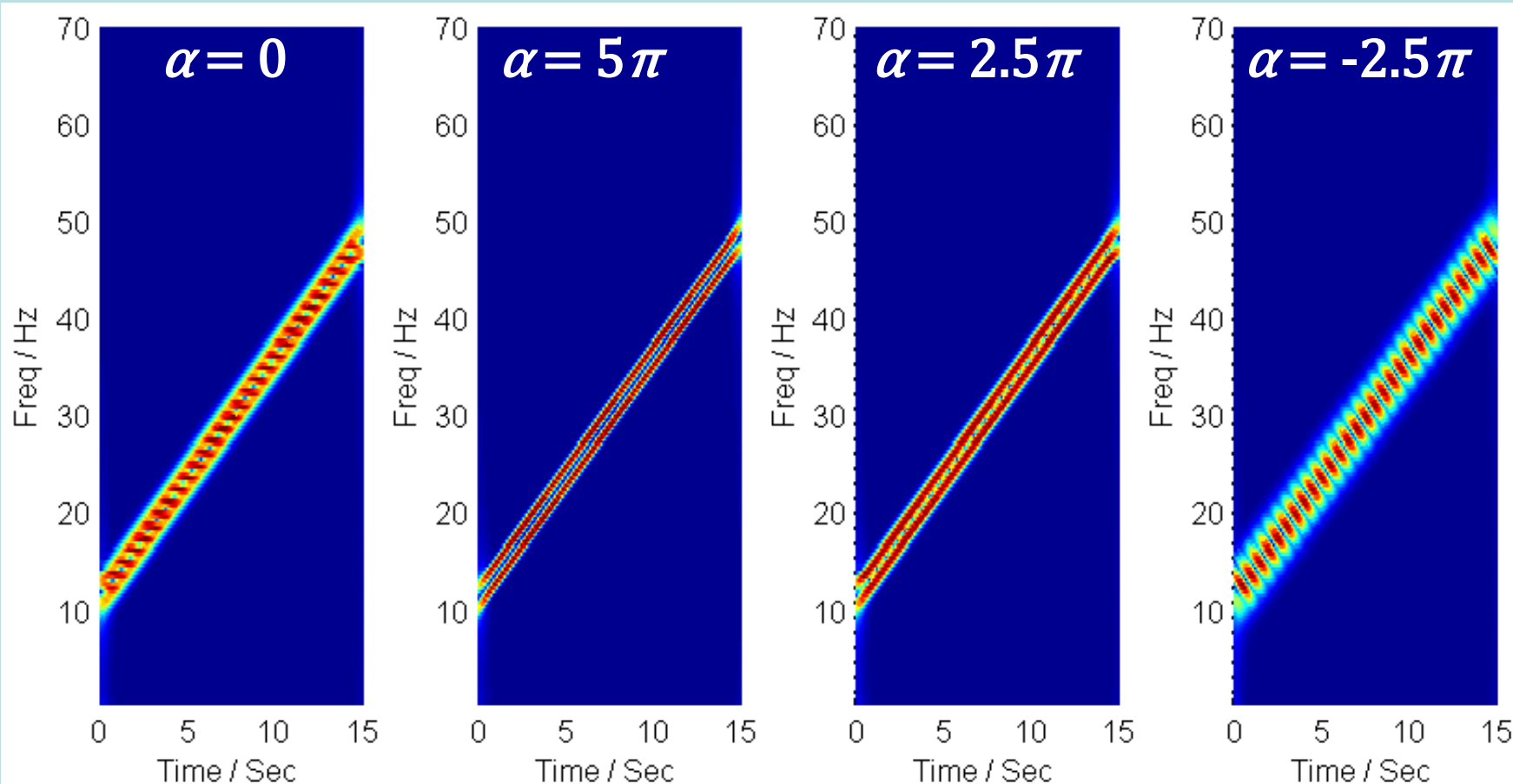
Chirplet 工作原理



参数化时频分析-原理

例3: $x(t) = \sin(2\pi(10 + 2.5t)t) + \sin(2\pi(12 + 2.5t)t) \quad (0 \leq t \leq 15\text{s})$

Chirp Rate = $5\pi / \text{s}$

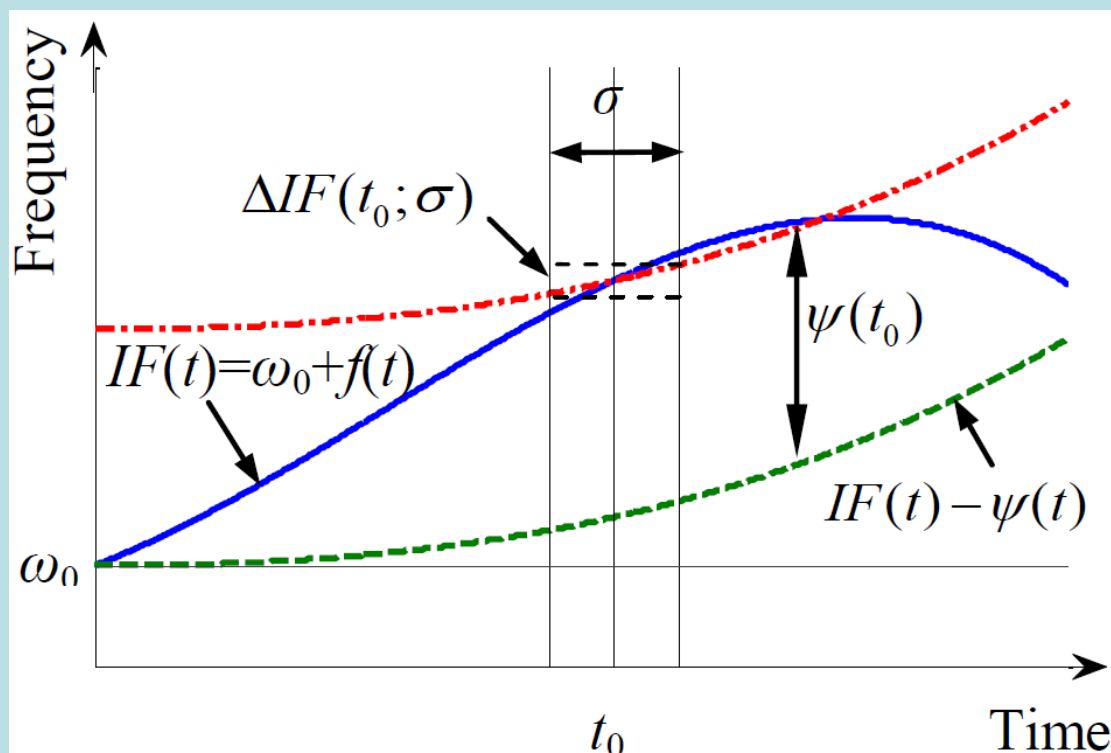


参数化时频分析-原理

信号模型:

$$x(t) = e^{-j\left(\omega_0 t + \int_0^t f(\tau) d\tau\right)}$$

参数化时频分析原理图解



瞬时频率:

$$IF(t) = \omega_0 + f(t)$$

旋转算子

$$\Phi^R(t) = e^{j\left(\int_0^t \psi(\tau) d\tau\right)}$$

平移算子

$$\Phi^M(\tau, t) = e^{-j\psi(\tau)t}$$

参数化时频分析-原理

定义

$$\text{PTFT}_x(t, \omega, \psi)$$

$$= \int_{-\infty}^{+\infty} \bar{z}(\tau) g(\tau - t) e^{-j\omega\tau} d\tau$$

$$\begin{cases} \bar{z}(t) = \Phi^R \Phi^M x(t) \\ \Phi^M(\tau, t) = e^{-j\psi(\tau)t} \\ \Phi^R(t) = e^{j\left(\int_0^t \psi(\tau) d\tau\right)} \end{cases}$$

性质

线性可加

$$ax + by \rightarrow a\text{PTFT}_x + b\text{PTFT}_y$$

时移不变

$$x(t - t_0) \rightarrow \text{PTFT}_x(t - t_0, \omega, \psi)$$

频移不变

$$x(t) e^{j\omega_0 t} \rightarrow \text{PTFT}_x(t, \omega + \omega_0, \psi)$$

参数化时频分析-方法

多项式调频小波变换 (PCT)

$$\psi(t) = \sum_{k=2}^{n+1} \alpha_{k-1} t^{k-1}$$

思想： 闭区间上的连续函数可用多项式函数一致逼近

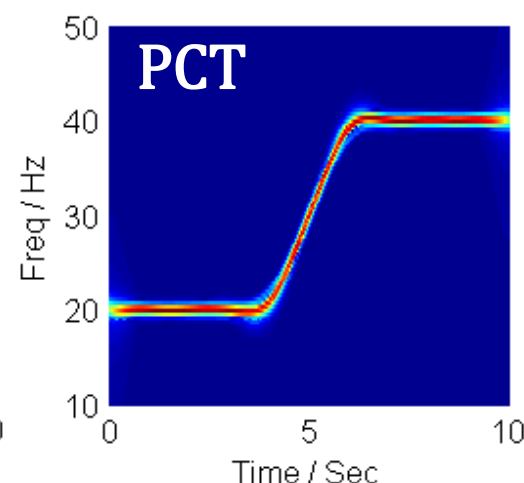
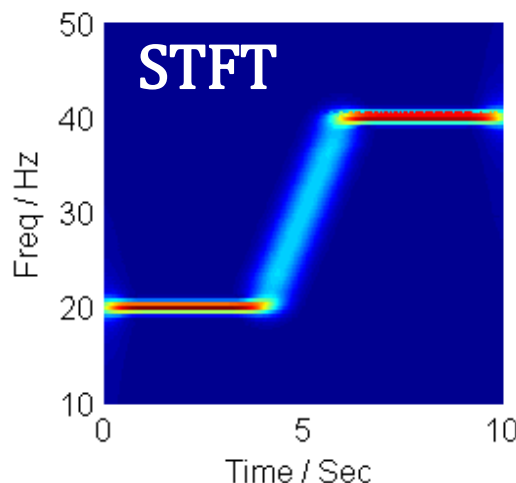
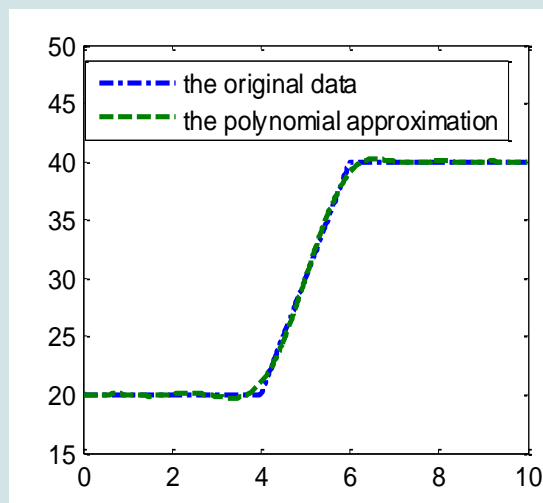
旋转算子

$$\Phi^R(t) = e^{j\left(\int_0^t \psi(\tau) d\tau\right)}$$

平移算子

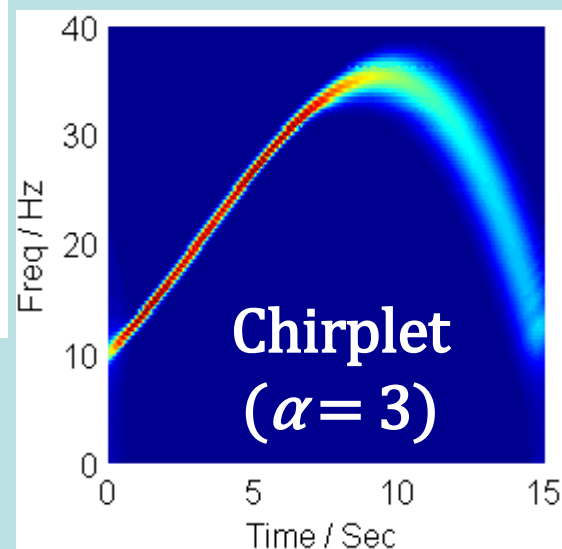
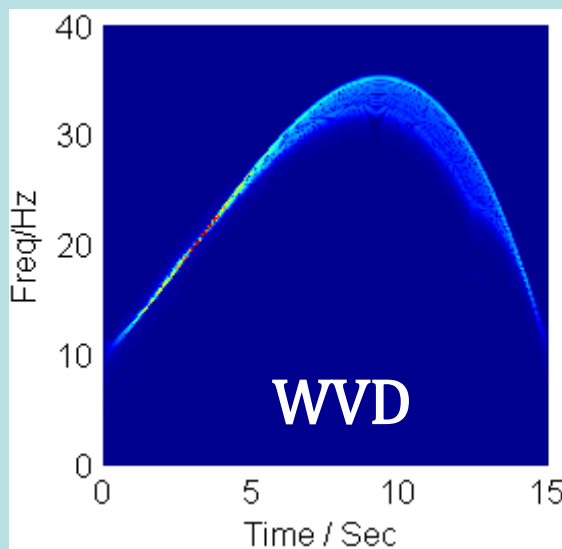
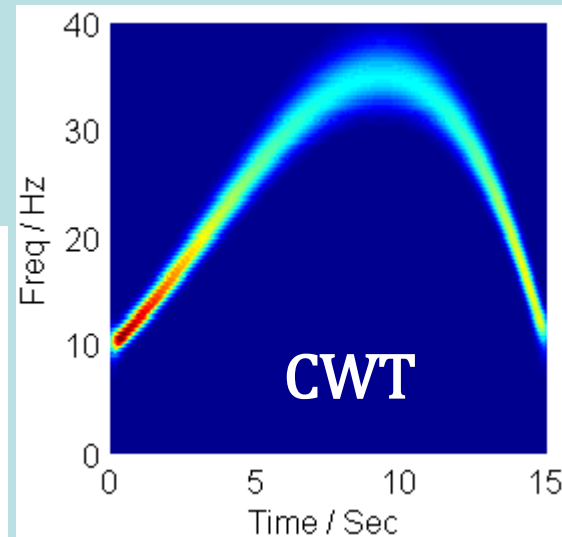
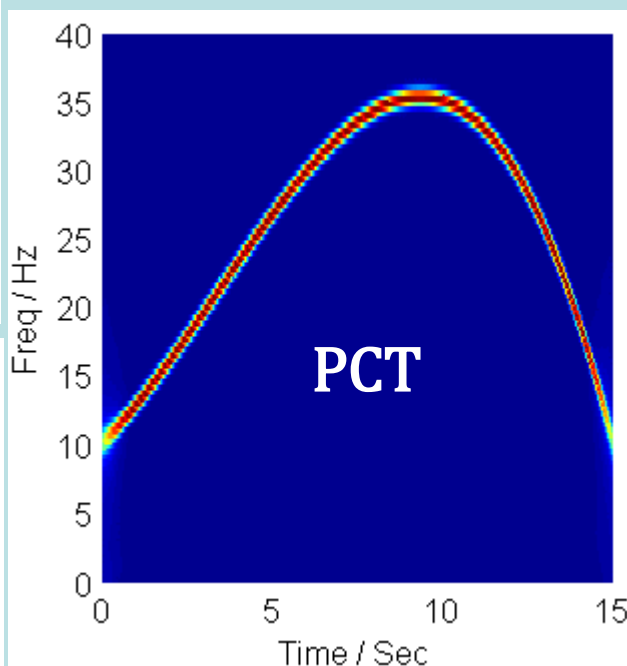
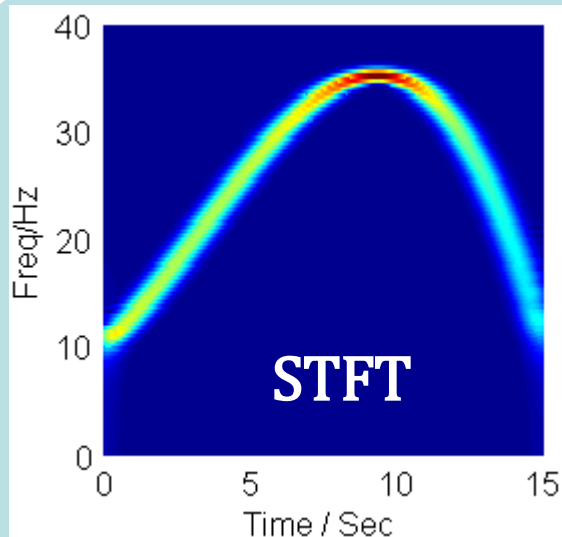
$$\Phi^M(\tau, t) = e^{-j\psi(\tau)t}$$

示例



参数化时频分析-方法

示例- PCT



参数化时频分析-方法

样条调频小波变换 (SCT)

$$\psi(t) = \sum_{k=2}^{n+1} \lambda_k^i (t - t_i)^{k-1}$$

$$\text{if } t_i \leq t \leq t_{i+1}, \quad i = 1, \dots, l-1$$

思想： 分段多项式逼近，避免Runge现象

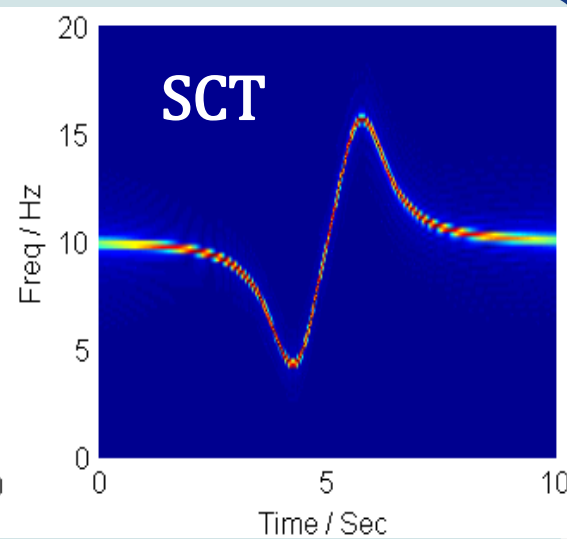
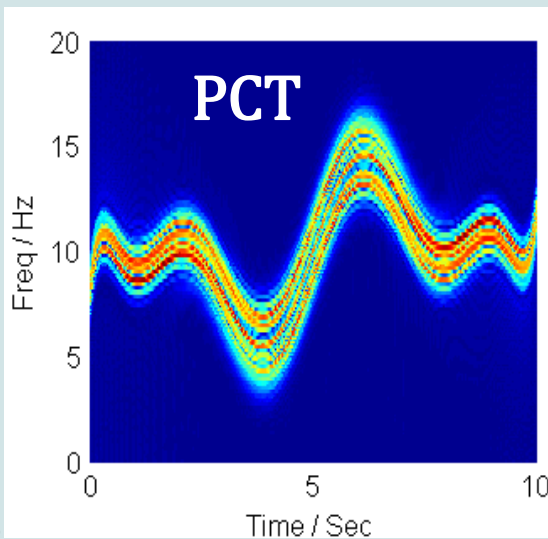
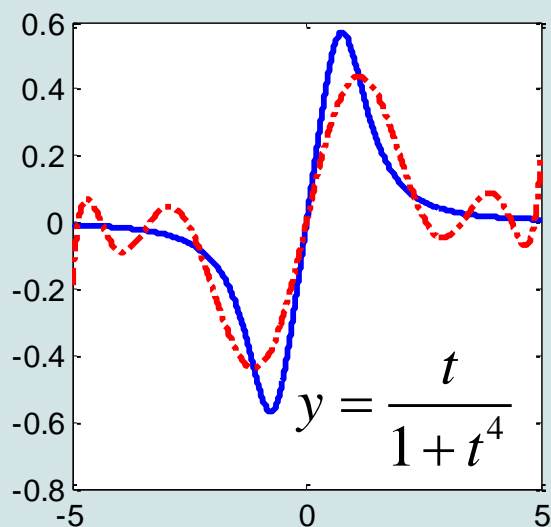
旋转算子

$$\Phi^R(t) = e^{j \left(\int_0^t \psi(\tau) d\tau \right)}$$

平移算子

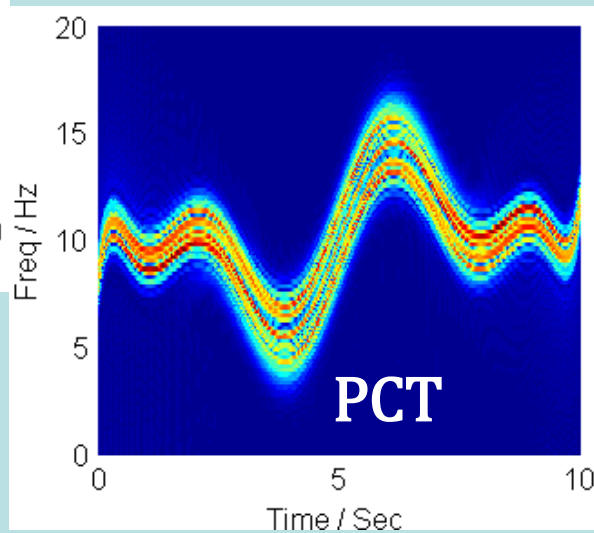
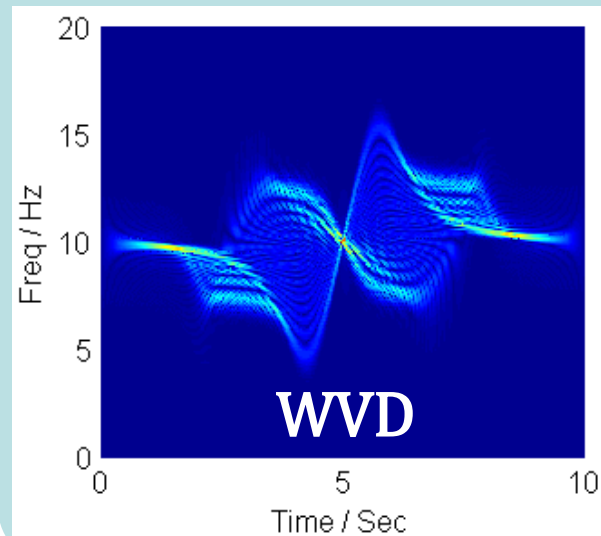
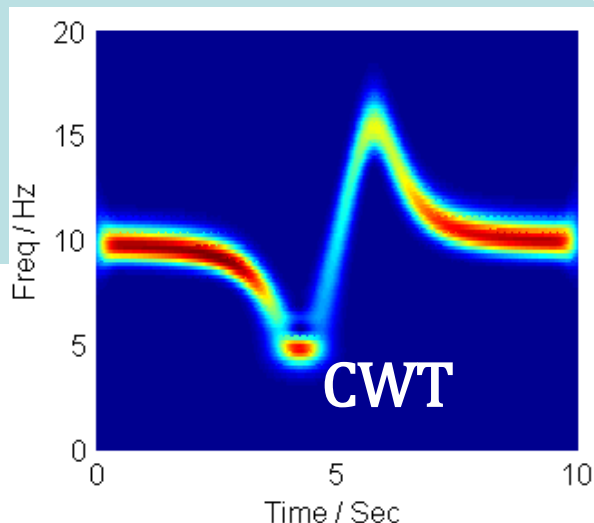
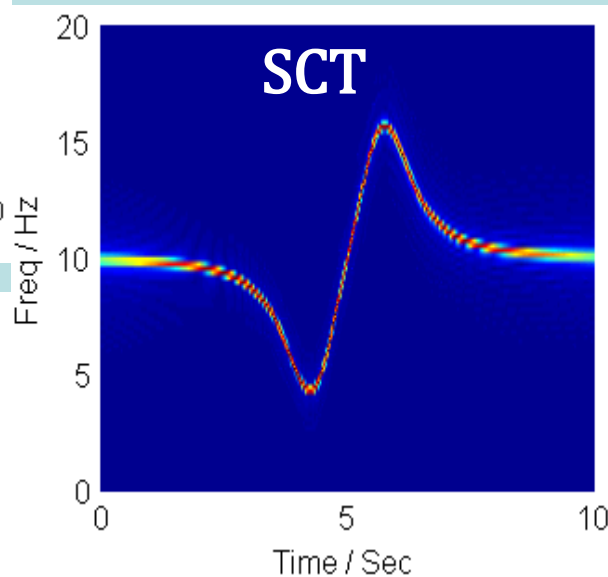
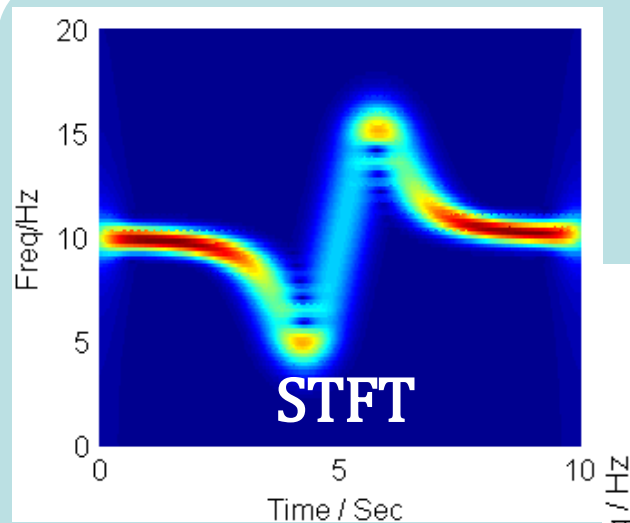
$$\Phi^M(\tau, t) = e^{-j\psi(\tau)t}$$

示例



参数化时频分析-方法

示例- SCT



参数化时频分析-方法

广义Warblet变换 (GWT)

$$\psi(t) = \sum_{i=1}^N \Psi(\omega_i) e^{j\omega_i t}$$

思想： 任何可积函数都可用三角函数展开

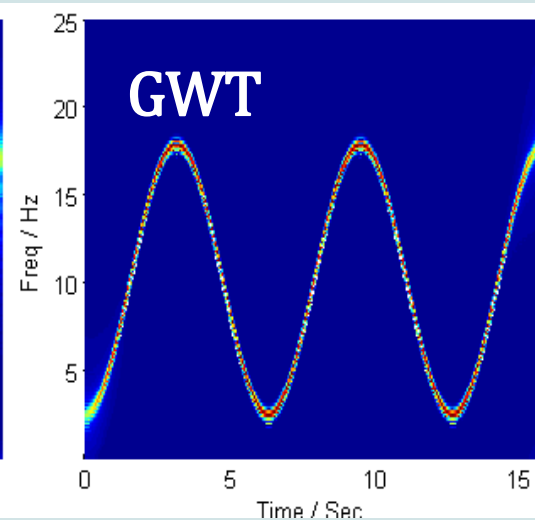
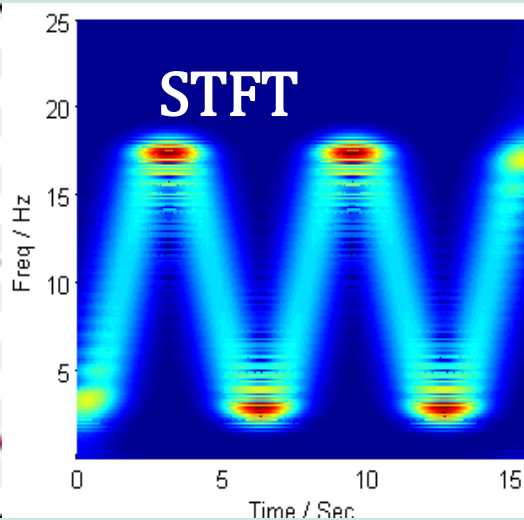
旋转算子

$$\Phi^R(t) = e^{j\left(\int_0^t \psi(\tau) d\tau\right)}$$

平移算子

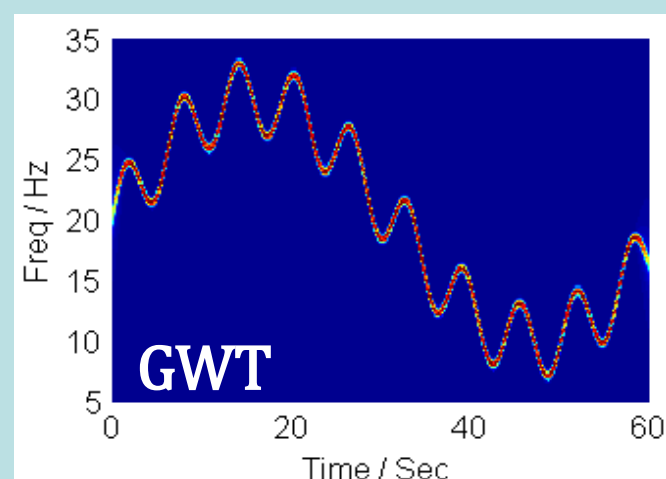
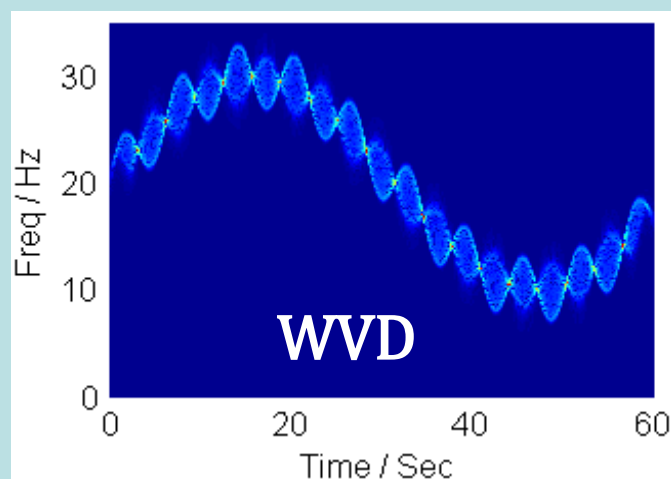
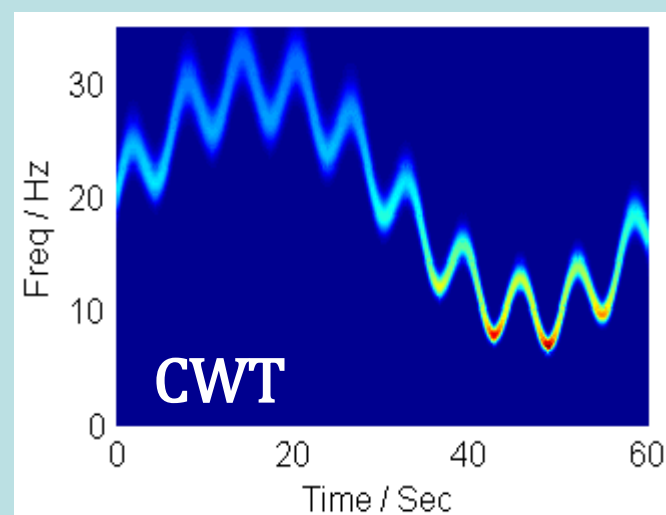
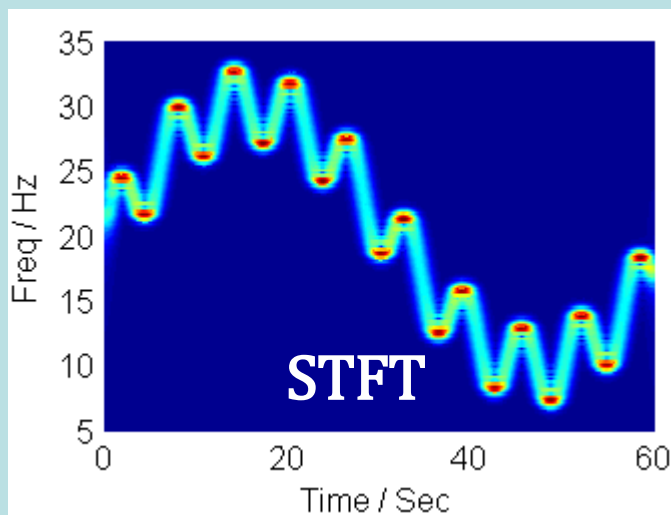
$$\Phi^M(\tau, t) = e^{-j\psi(\tau)t}$$

示例



参数化时频分析-方法

示例- GWT



参数化时频分析-方法

如何确定变换核参数

多项式调频小波变换

$$[\alpha_1, \dots, \alpha_n]$$

样条调频小波变换

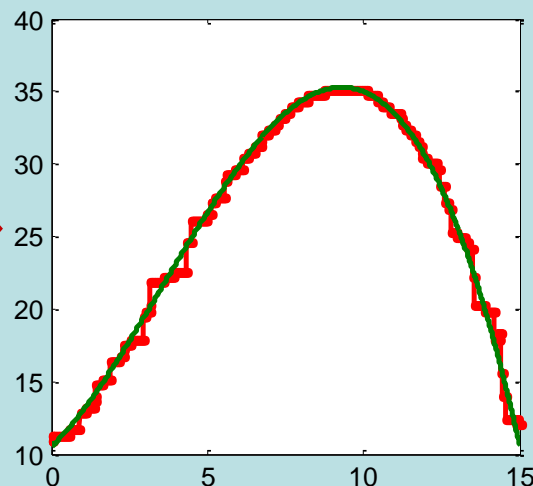
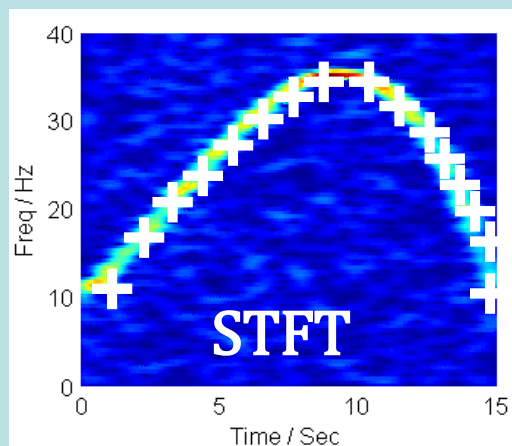
$$\begin{bmatrix} \lambda_1^1, \dots, \lambda_n^1 \\ \vdots \\ \lambda_1^l, \dots, \lambda_n^l \end{bmatrix}$$

广义Warblet变换

$$[\Psi_1, \dots, \Psi_n]$$

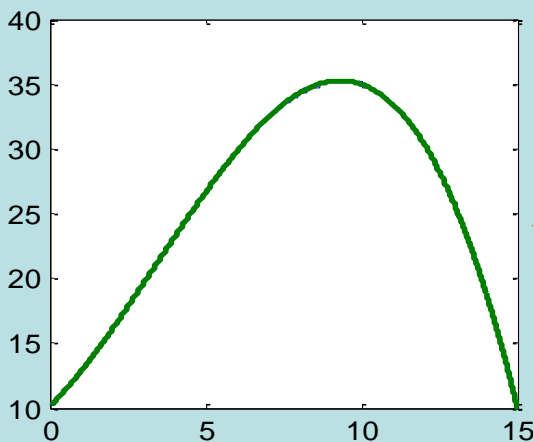
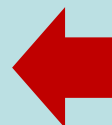
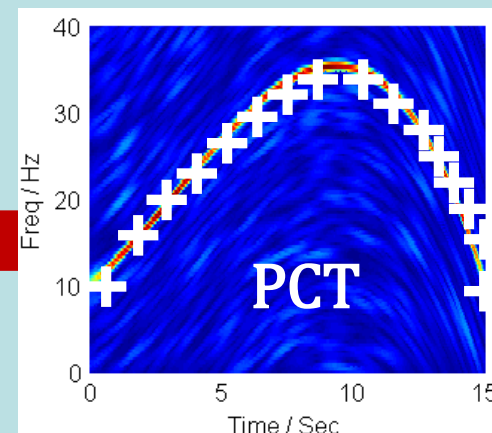
参数化时频分析-方法

变换核参数估计-PCT



最小二乘法拟合

$$[\alpha_1^0, \dots, \alpha_n^0]$$

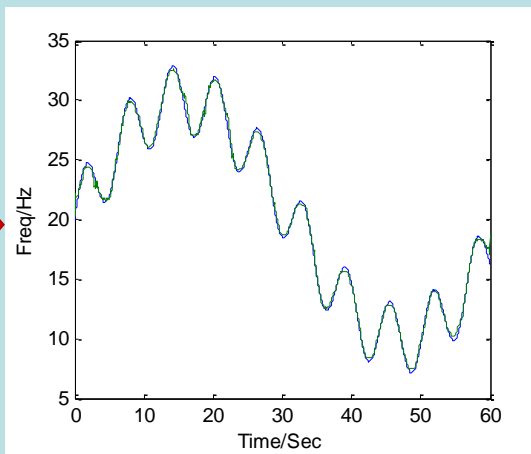
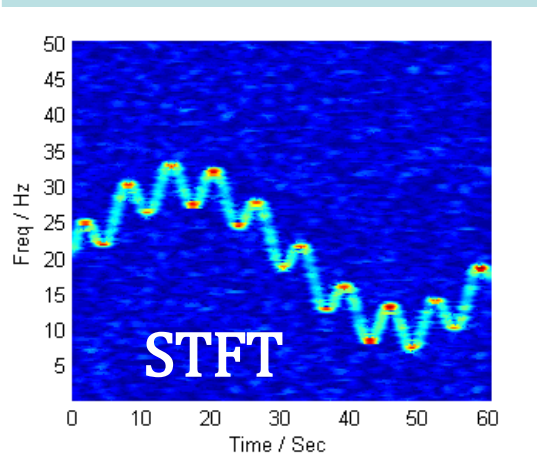


$$[\alpha_1^1, \dots, \alpha_n^1]$$

最小二乘法拟合

参数化时频分析-方法

变换核参数估计-GWT



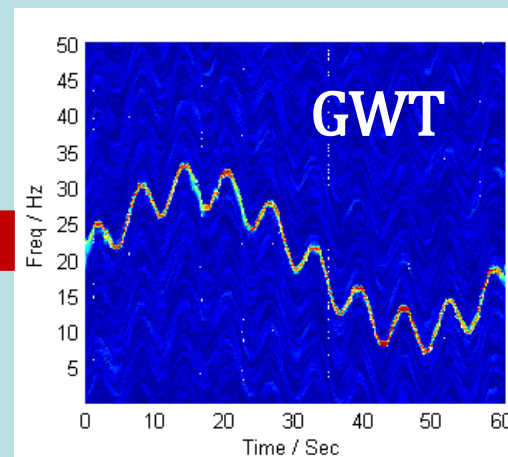
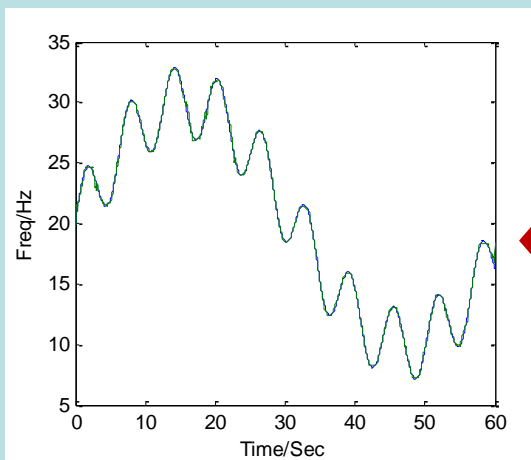
Fourier变换

$$[\Psi_1^0, \dots, \Psi_n^0]$$



$$[\Psi_1^1, \dots, \Psi_n^1]$$

Fourier变换



参数化时频分析-方法

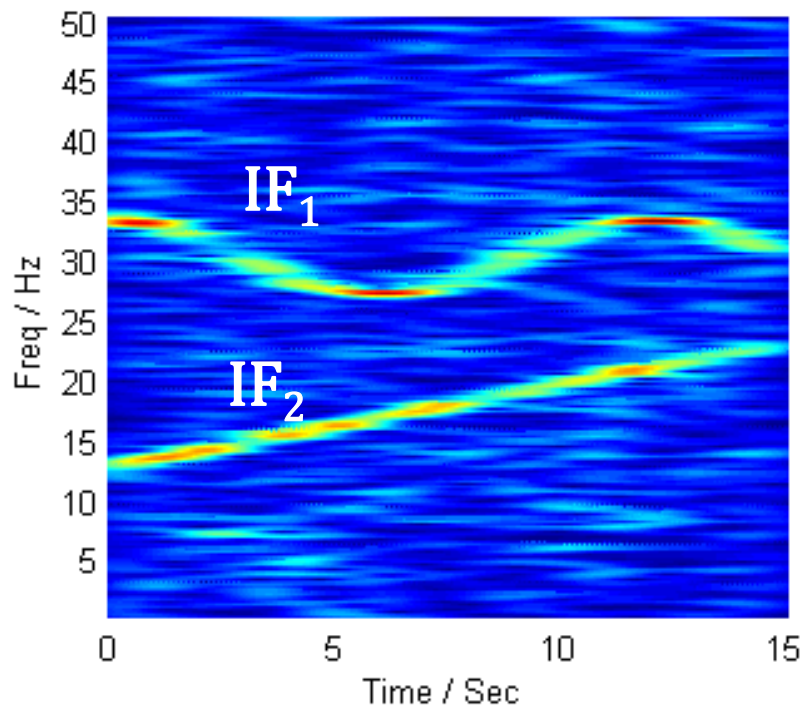
如何分析多频率分量信号？

示例- 多频率分量信号

$$s(t) = e^{j\pi\left[60t + 12\sin\left(\frac{\pi t}{6}\right)\right]} + e^{j(0.7\pi t^2 + 25\pi t)} + n$$

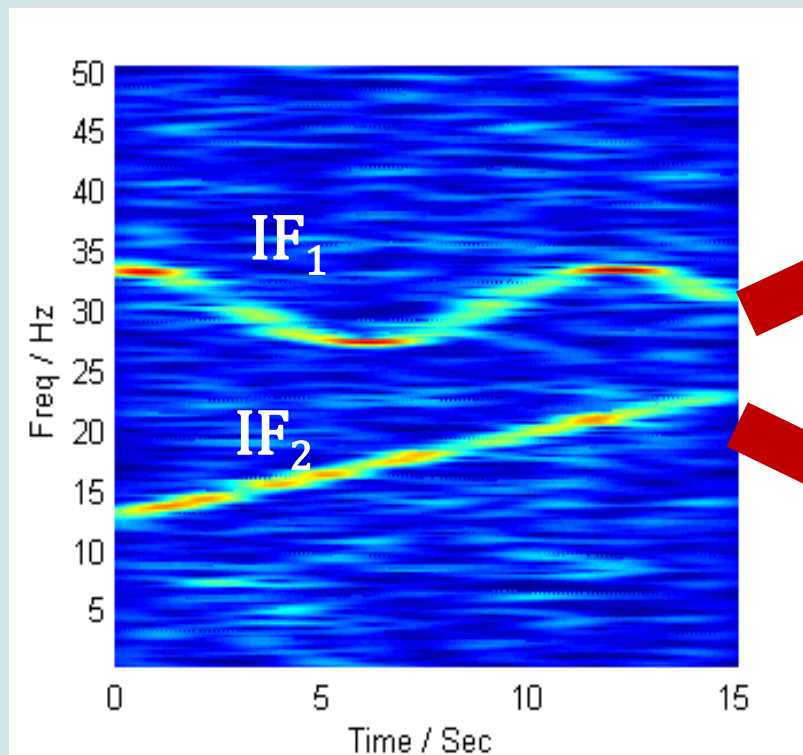
$$IF_1(t) = 30 + \pi \cos(\pi t/6)$$

$$IF_2(t) = 0.7t + 12.5$$



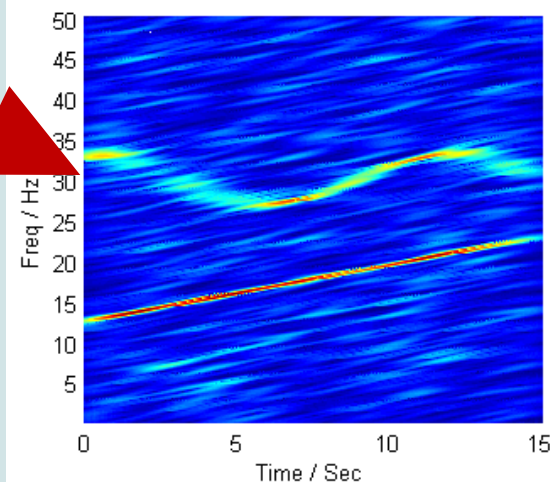
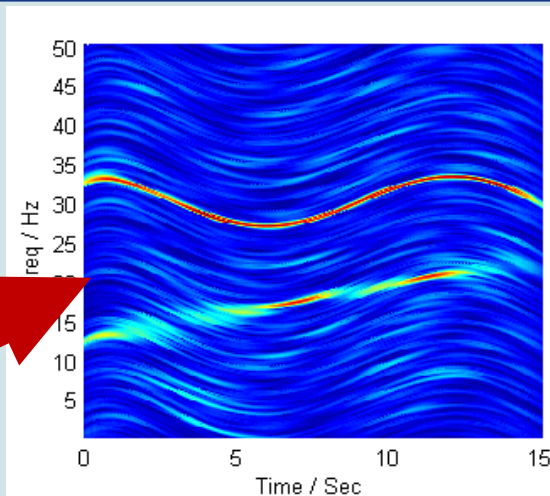
参数化时频分析-方法

多频率分量信号分析-时频融合法



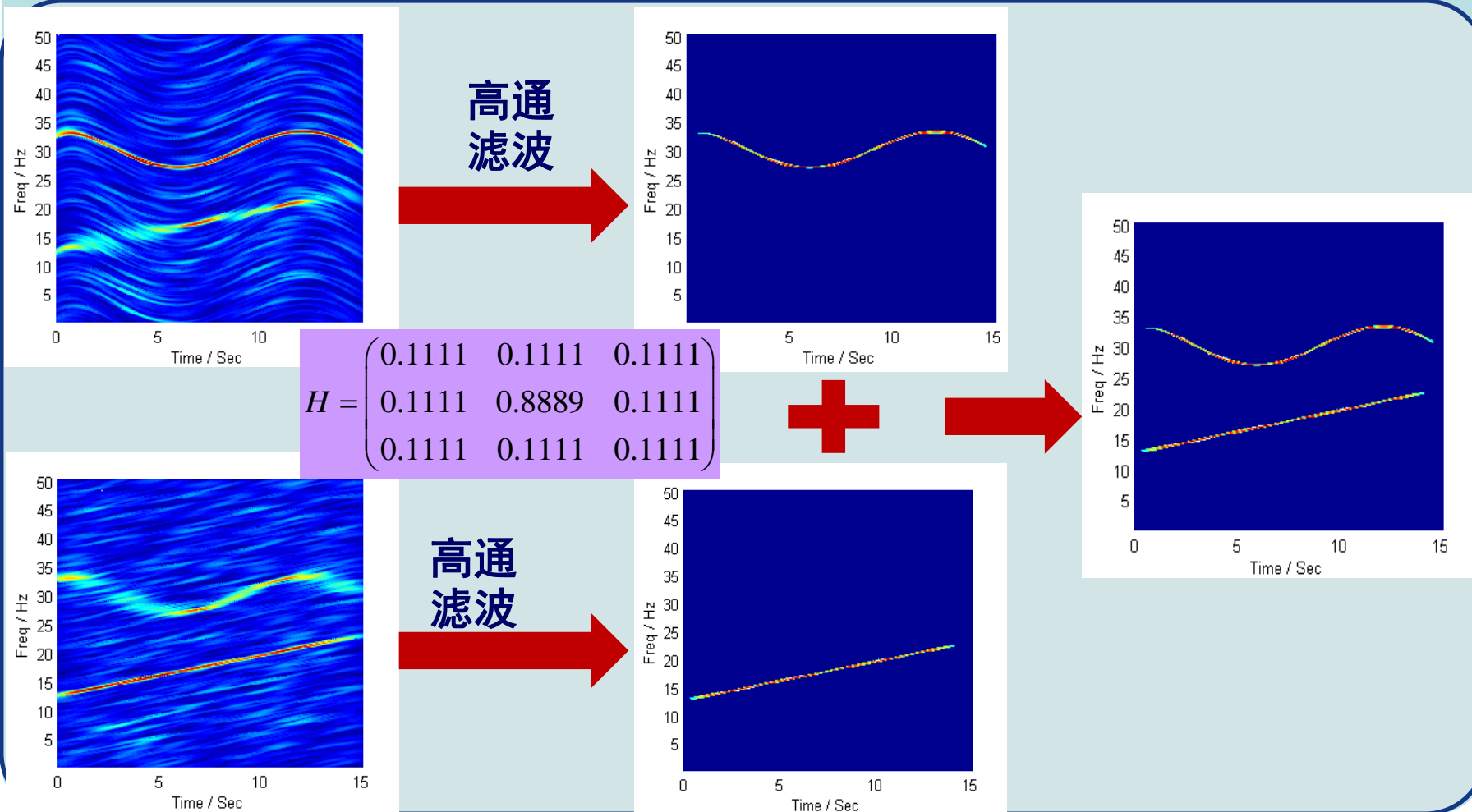
ψ_1

ψ_2

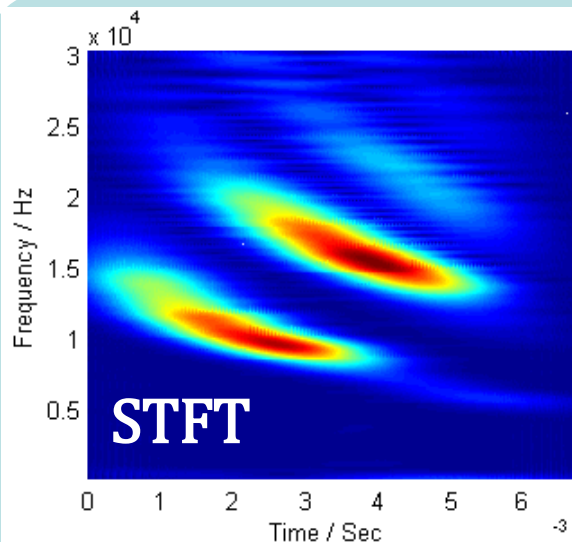


参数化时频分析-方法

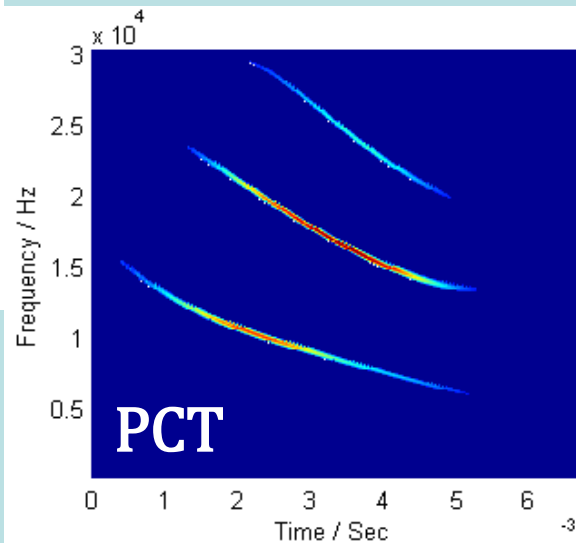
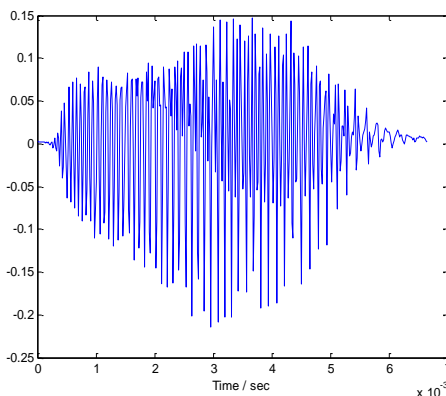
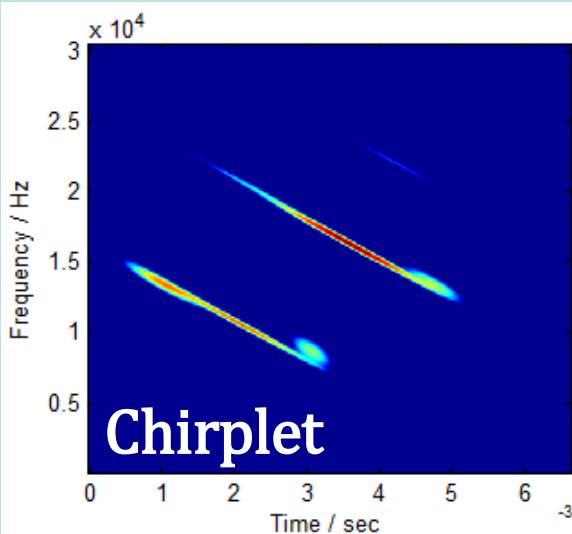
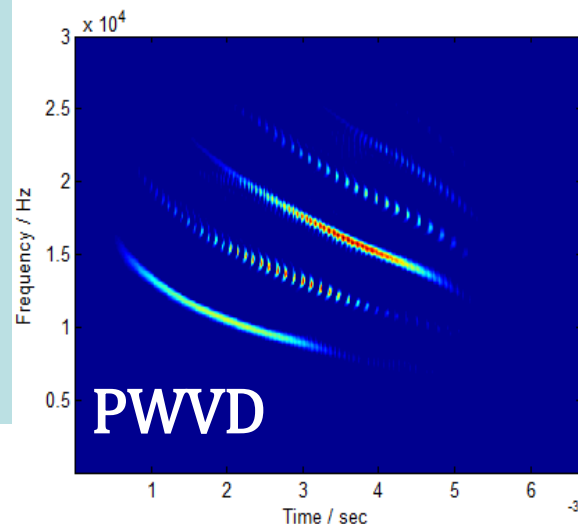
多频率分量信号分析-时频融合法



参数化时频分析-方法



时频融合法
示例
蝙蝠回波定位
信号



参数化时频分析-方法

多频率分量信号分析-信号分解法

信号模型:

$$x(t) = \sum_{k=1}^N e^{-j\left(\omega_k t + \int_0^t f_k(\tau) d\tau + \phi_k\right)} + n$$

问题:

$$x(t) \approx \sum_{k=1}^N x_k(t)$$

$$x_k(t) = e^{-j\left(\omega_k t + \int_0^t \psi_k(\tau; \alpha_1^k, \dots, \alpha_l^k) d\tau + \phi_k\right)}$$

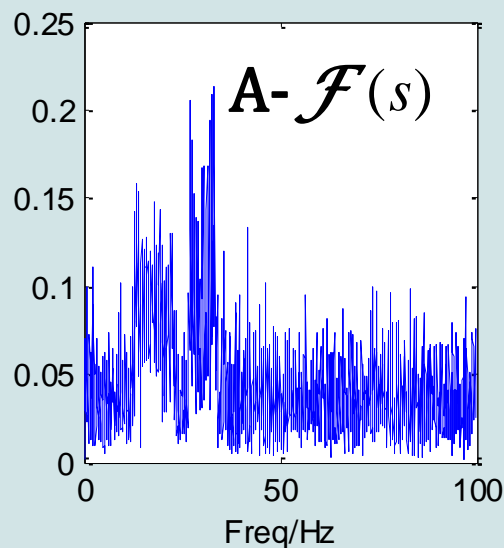
$$\psi_k(\tau; \alpha_1^k, \dots, \alpha_l^k) \approx f_k(\tau)$$

参数化时频分析-方法

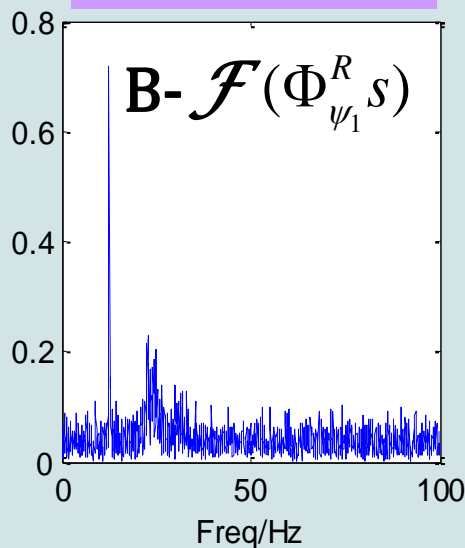
多频率分量信号分析-信号分解法

示例信号 $x(t) = e^{j\pi[60t+12\sin(\pi t/6)]} + e^{j(25\pi t+0.7\pi t^2)} + n$

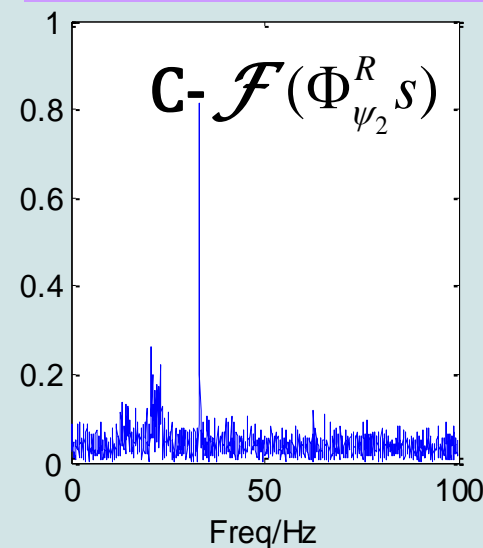
$$\Phi_{\psi_0}^R(t) = 1$$



$$\Phi_{\psi_1}^R(t) = e^{-j(0.7\pi t^2)}$$



$$\Phi_{\psi_2}^R(t) = e^{-j12\pi \sin(\pi t/6)}$$



$$Ind = \int \left| \mathcal{F}(\Phi_k^R s) \right|^4 d\omega \quad Ind: \text{ (A)-0.1007 ; (B)-0.4650; (C)-0.6060}$$

参数化时频分析-方法

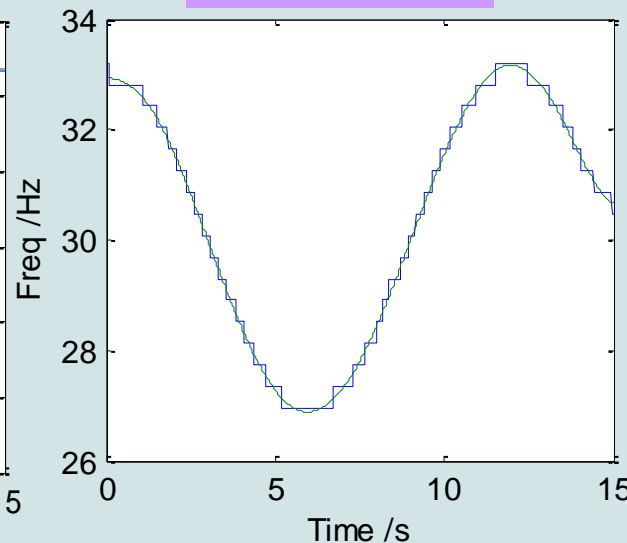
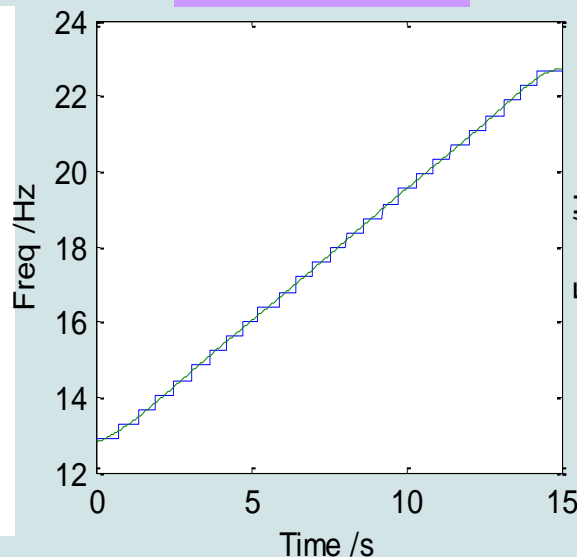
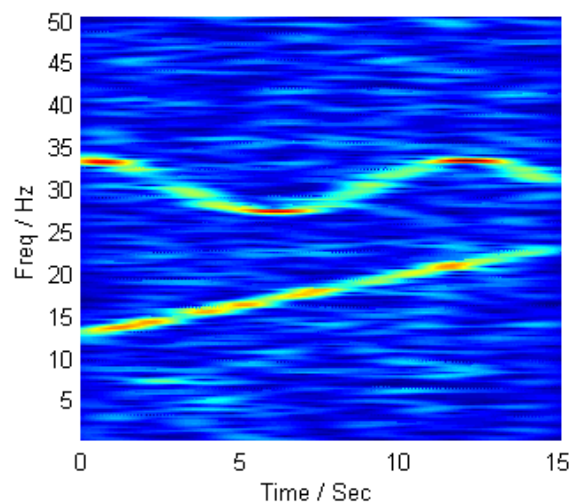
多频率分量信号分析-信号分解法

参数估计: $(\tilde{\alpha}_1^k, \dots, \tilde{\alpha}_l^k) = \arg \max_{(\alpha_1^k, \dots, \alpha_l^k)} \left(\int |\mathcal{F}(\Phi_k^R s)|^4 d\omega \right)$

初始值设定:

$$(\alpha_1^1, \dots, \alpha_{l_1}^1)_0$$

$$(\alpha_1^2, \dots, \alpha_{l_2}^2)_0$$



估计算法: 粒子群优化算法或遗传算法

参数化时频分析-方法

多频率分量信号分析-信号分解法

相位估计:

$$\left(\omega_k, \alpha_1^k, \dots, \alpha_l^k\right) \longrightarrow z(t) = \Phi_{\psi_k}^R x(t) \approx e^{j(\omega_k t + \phi_k)} + \Delta$$

$$y_k(t) = e^{j\omega_k t}$$

相关分析:

$$r_{z, y_k}(\tau) = \int y_k(t) z(t - \tau) dt$$

$$\tau_{\max} = \arg \max_{\tau} \left(\left| r_{z, y_k}(\tau) \right| \right)$$

$$\tau_{\max} \rightarrow \phi_k$$

参数化时频分析-方法

多频率分量信号分析-信号分解法

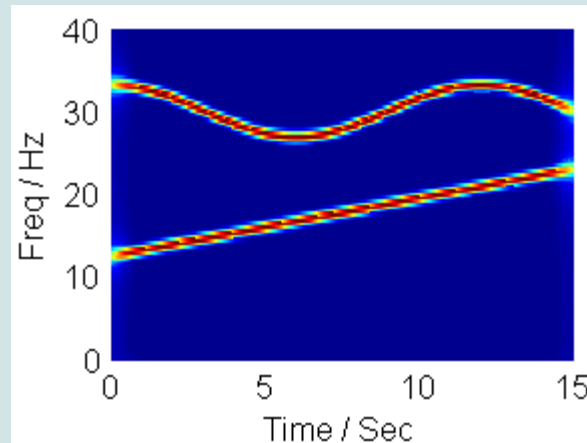
$$s(t) = e^{j[\pi(60t+12\sin(\pi t/6))+0.5]} + e^{j(25\pi t+0.7\pi t^2+0.7)}$$

分量1

参数	估计值
ω	33.148935817873870
α_1	-0.040803408016272
α_2	-0.377328980216910
α_3	-0.027811922535334
α_4	0.016548259074640
α_5	-0.000659065850102
α_6	-0.000108174469633
α_7	0.000009353945751

分量2

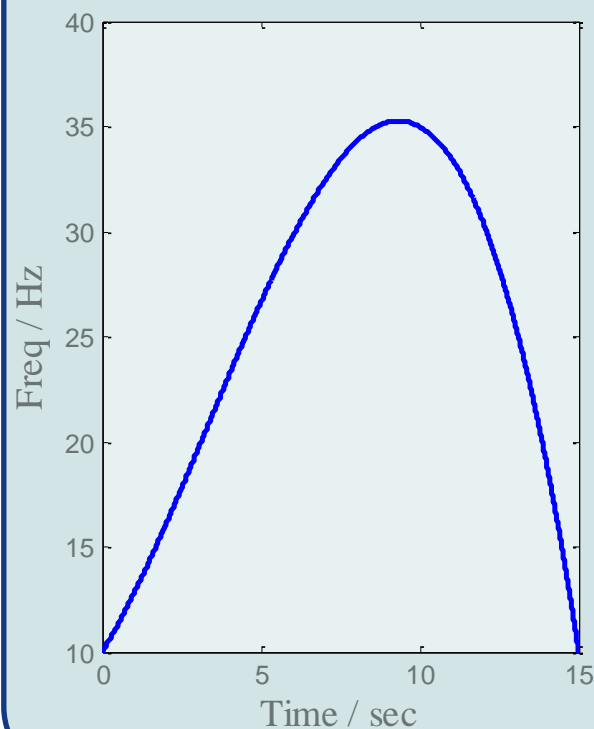
参数	估计值
ω	12.504644817794059
α_1	0.696761765522457
α_2	0.000257614908471



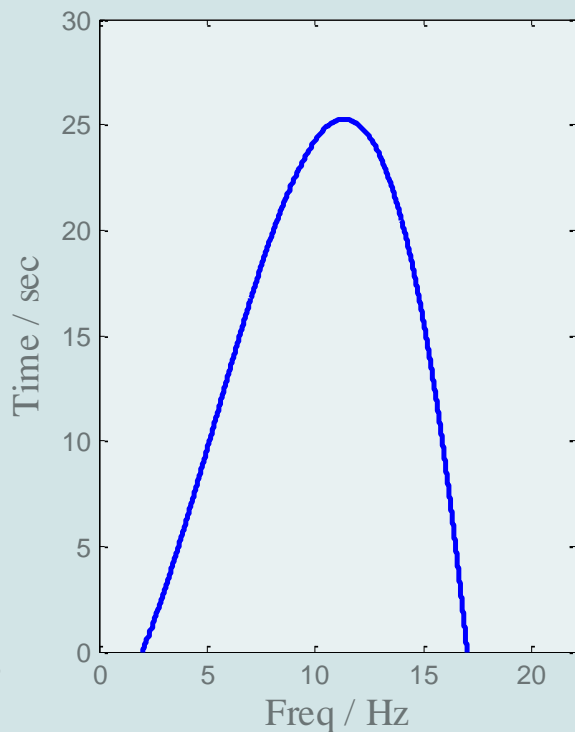
参数化时频分析-方法

如何刻画局部频率时延？

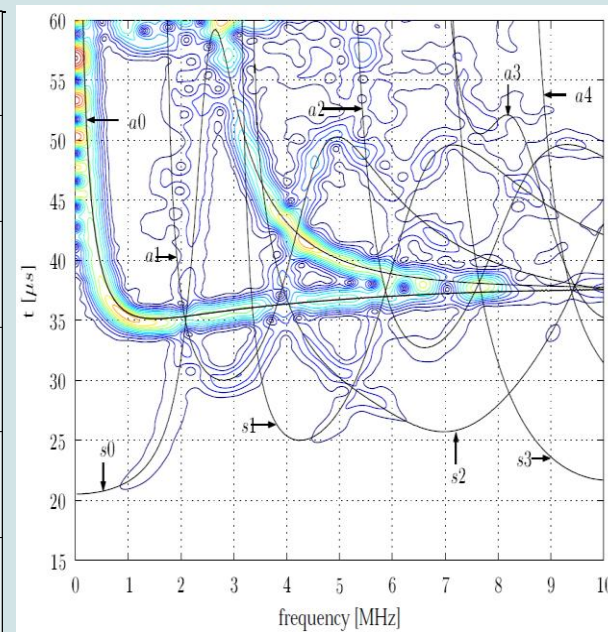
瞬时频率曲线



局部频率时延曲线



例：频散曲线



参数化时频分析-方法

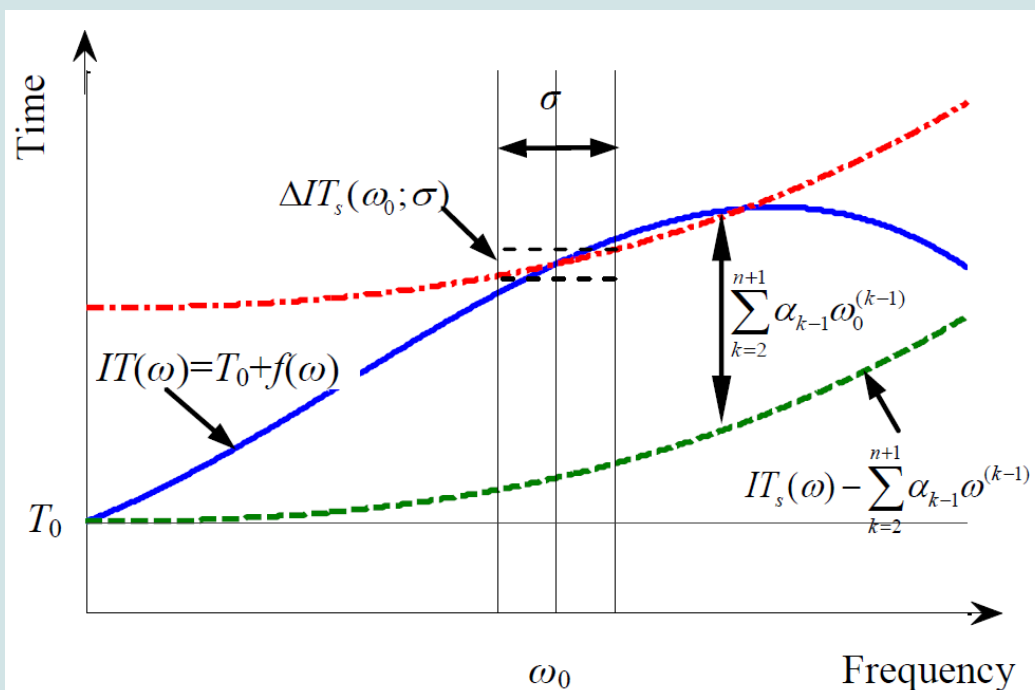
参数化频率时延分析

定义

$$\text{PTFT}_x(\omega, t, \psi) = \int_{-\infty}^{+\infty} \bar{z}(\omega) g(\Omega - \omega) e^{j\Omega t} d\Omega$$

$$\begin{cases} \bar{z}(\omega) = \Phi^R \Phi^M X(\omega) \\ \Phi^M(\Omega, \omega) = e^{-j\psi(\Omega)\omega} \\ \Phi^R(\omega) = e^{j\left(\int_0^\omega \psi(\Omega) d\Omega\right)} \end{cases}$$

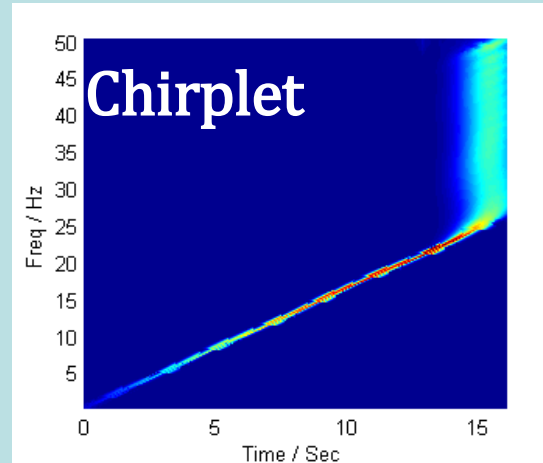
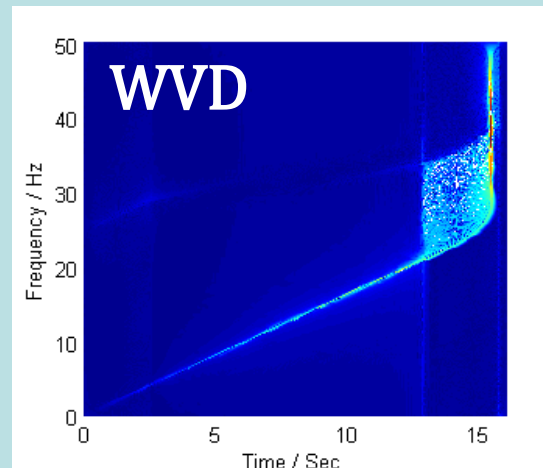
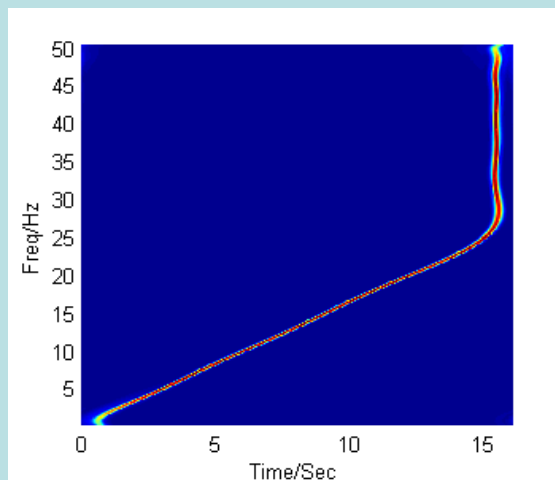
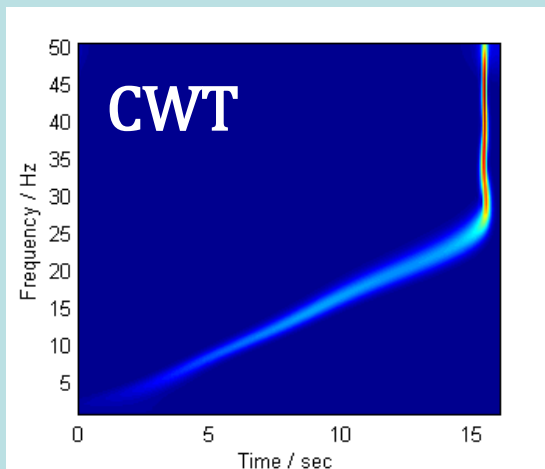
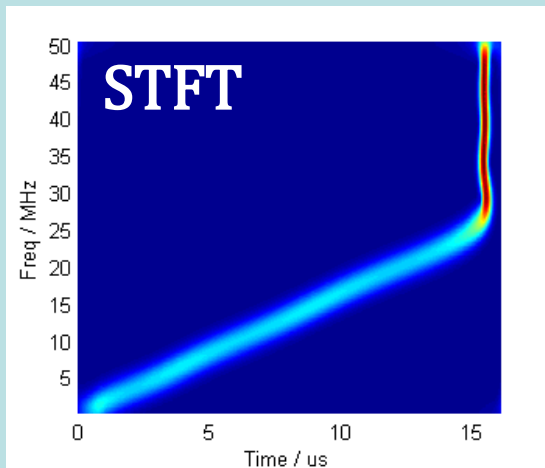
工作原理图解



参数化时频分析-方法

示例

多项式频率时
延变换



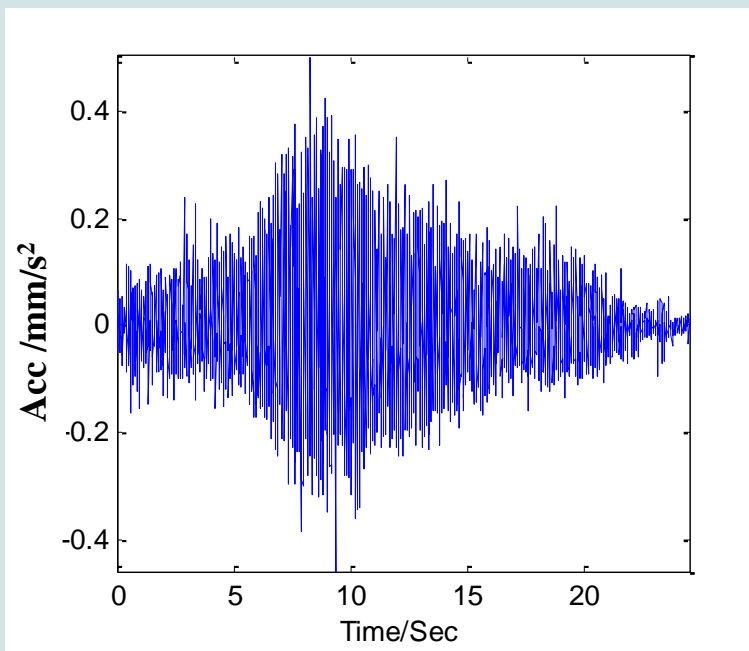
参数化时频分析-应用

应用一：转子瞬时转速估计

实验装置

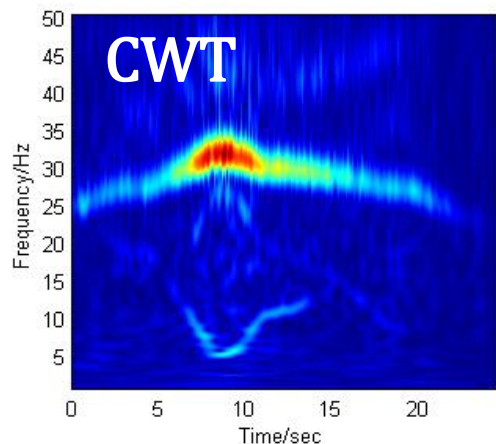
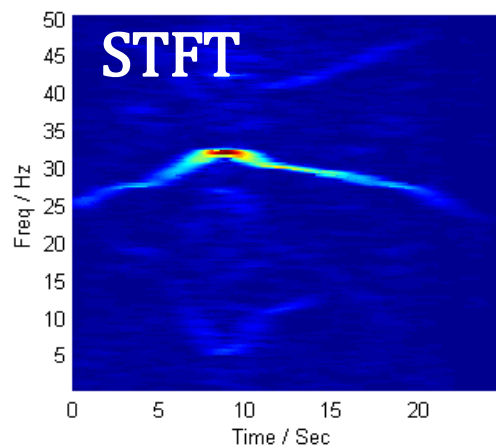


起停机过程信号

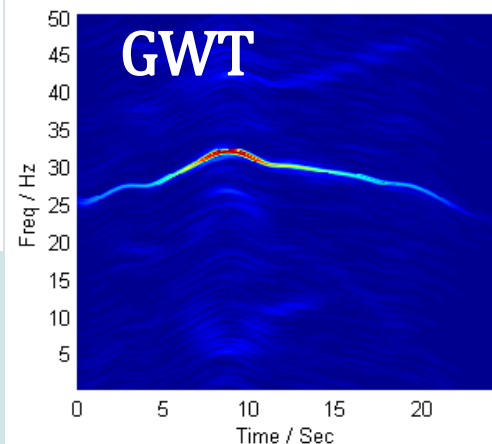
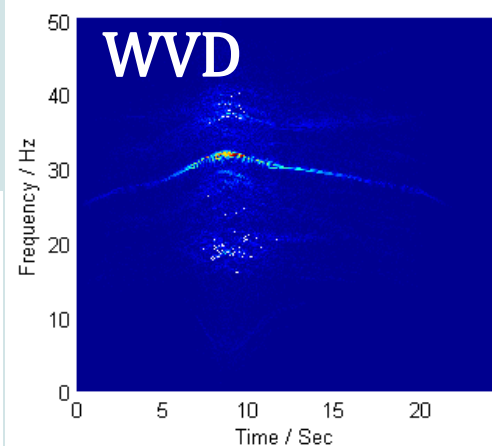
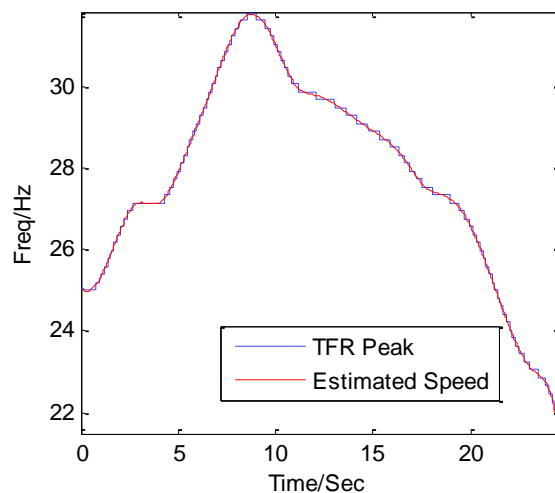


参数化时频分析-应用

应用一：转子瞬时转速估计



瞬时转速曲线

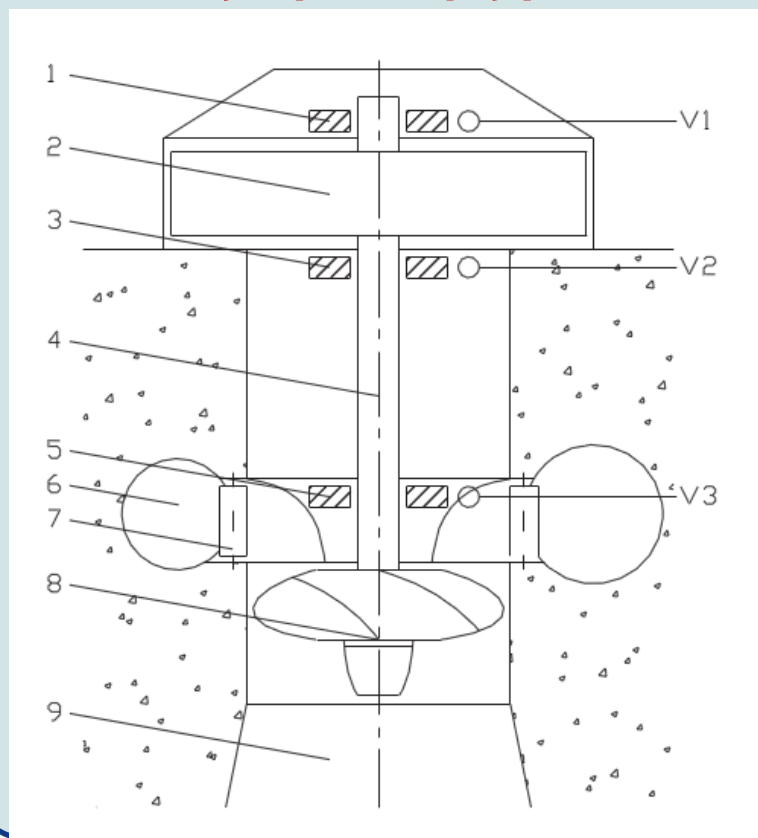




参数化时频分析-应用

应用二：水轮机振动信号精细时频特征提取

水轮机简图



- 1— 上导轴承
- 2— 发电机转子
- 3— 推力轴承
- 4— 主轴
- 5— 水导轴承
- 6— 蜗壳
- 7— 导叶
- 8— 水轮机叶片
- 9— 尾水管

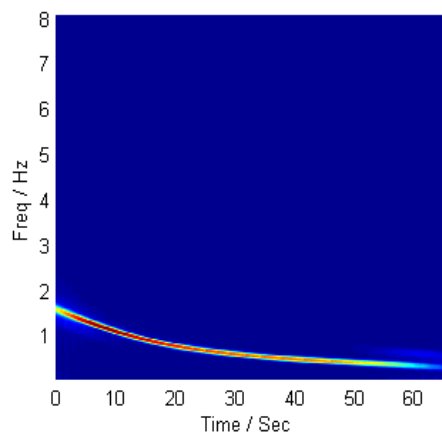
传感器测量位置

- V1— 上导轴承
- V2— 推力轴承
- V3— 水导轴承

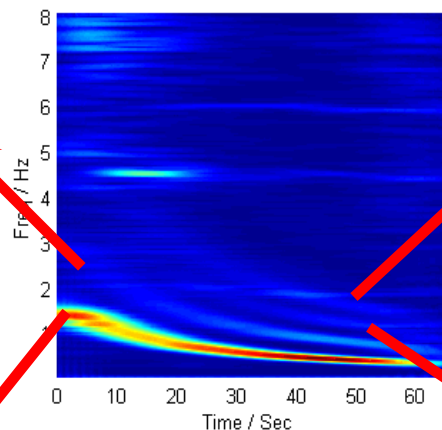
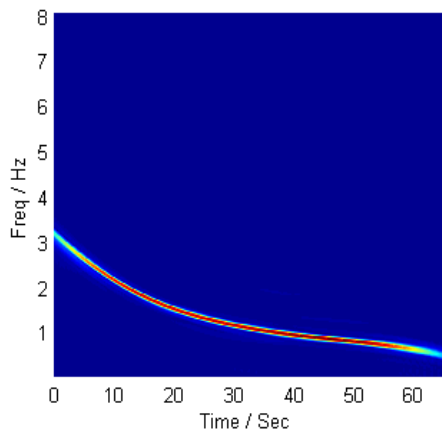
参数化时频分析-应用

应用二：水轮机振动信号精细时频特征提取

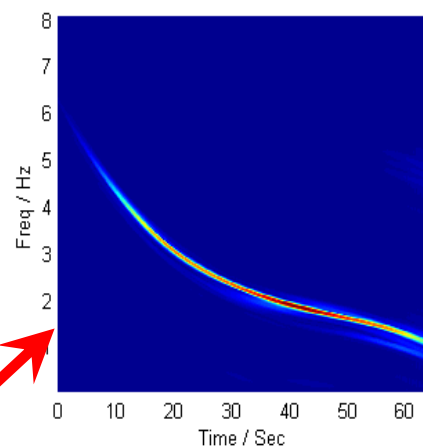
2倍频



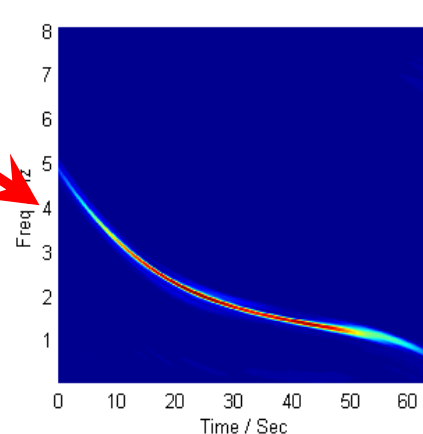
1倍频



4倍频



3倍频





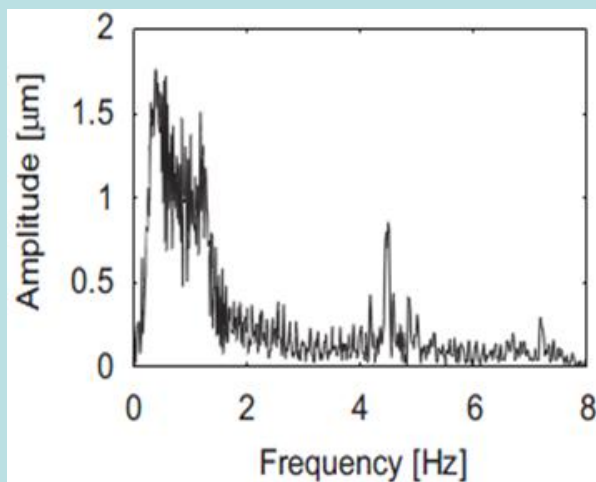
参数化时频分析-应用

应用二：水轮机振动信号精细时频特征提取

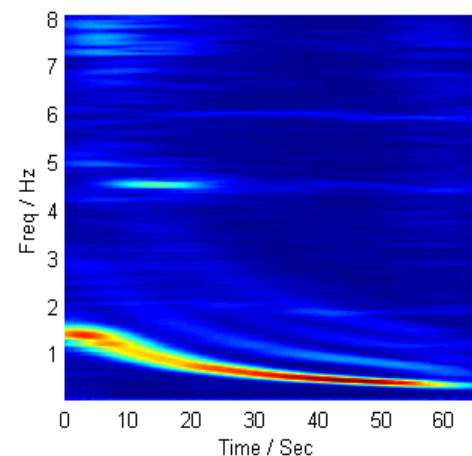
➤ 傅立叶变换频谱图不能揭示信号存在4个倍频分量；

➤ 短时傅立叶变换结果模糊显示信号存在4个倍频分量；

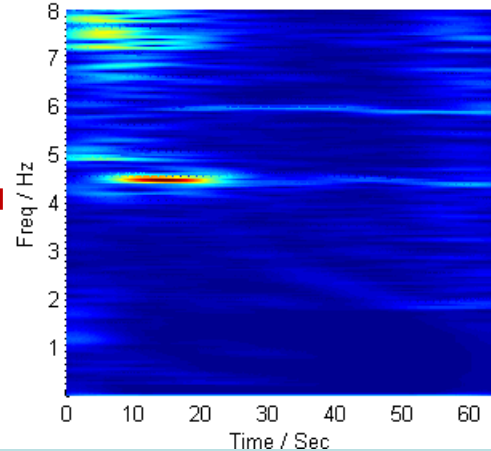
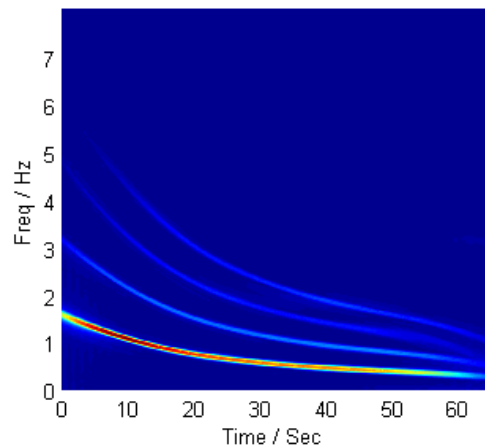
➤ 参数化时频分析结果清晰显示了4个倍频分量的存在。



傅立叶变换

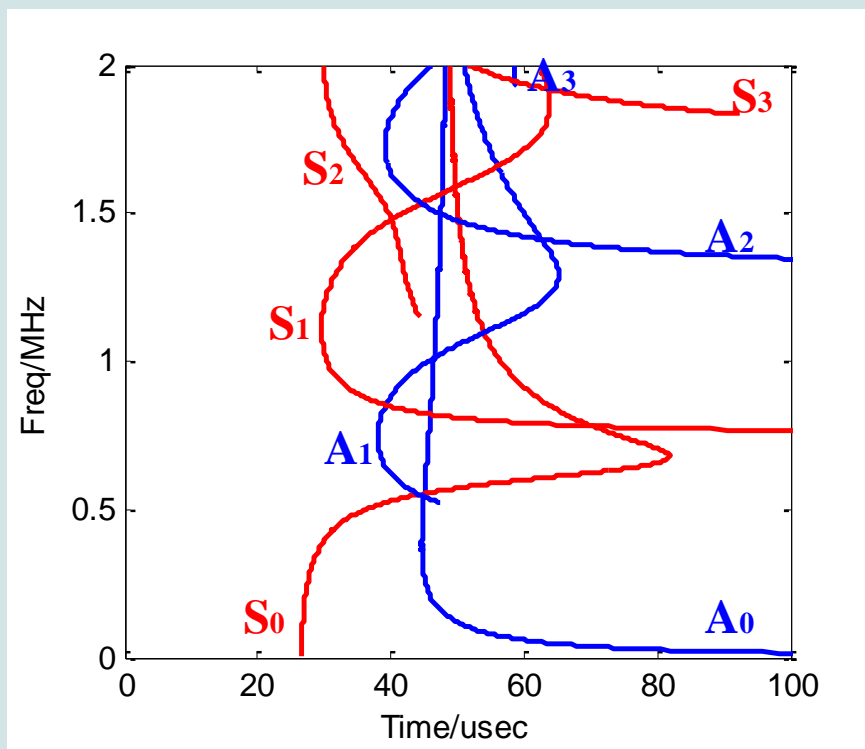


短时傅立叶变换

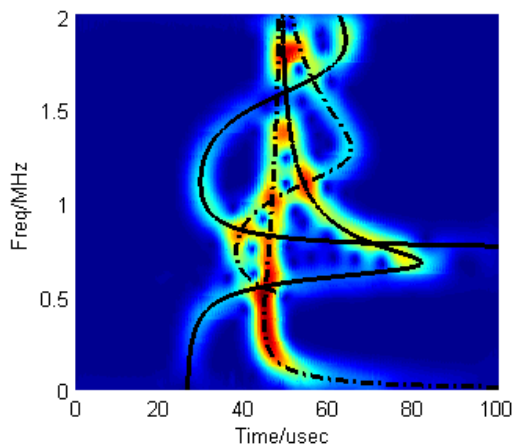
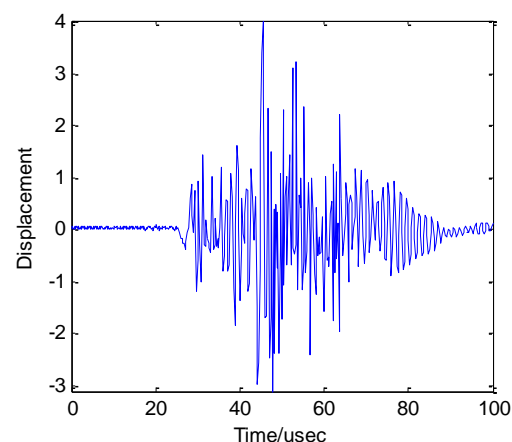


参数化时频分析-应用

应用三：Lamb波群延迟分析

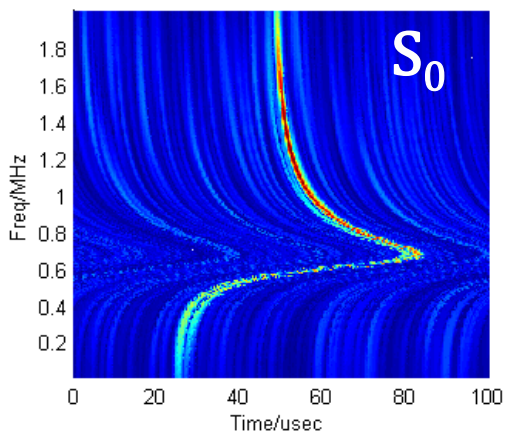
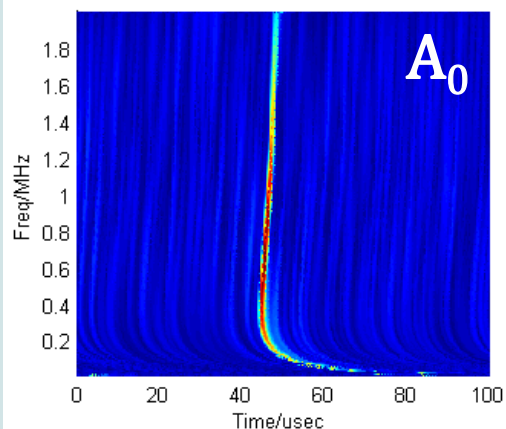


群延迟曲线

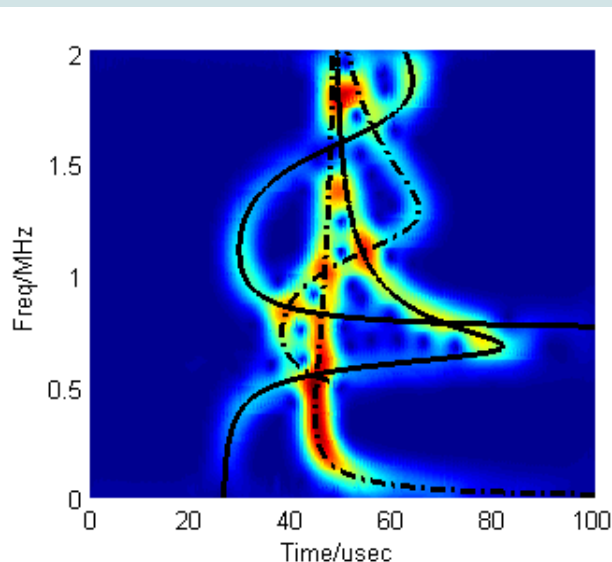


参数化时频分析-应用

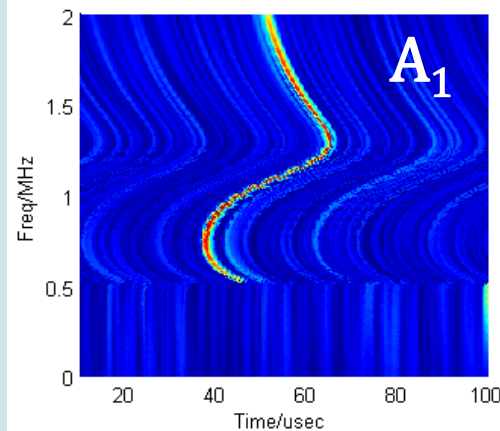
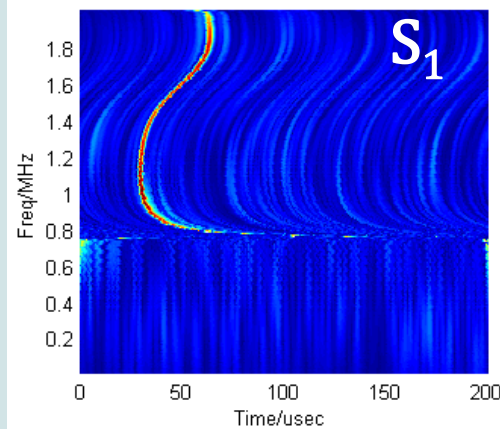
应用三：Lamb波群延迟分析



仿真信号

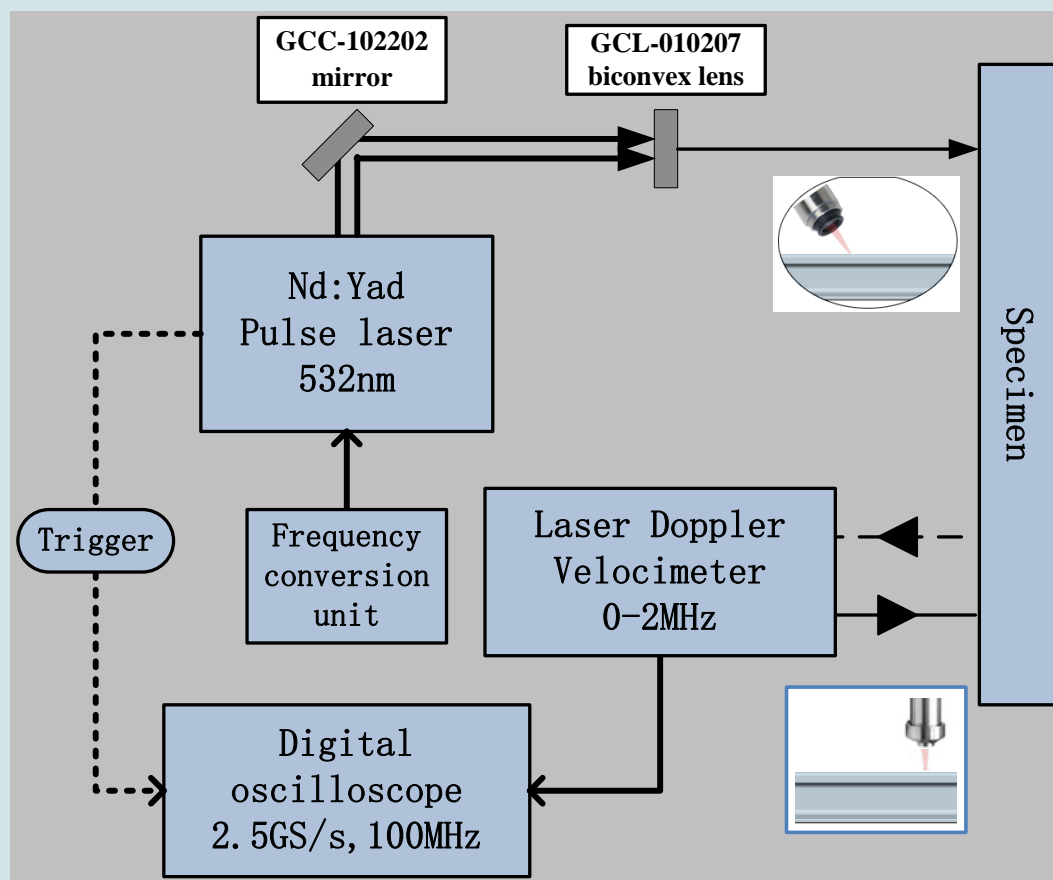
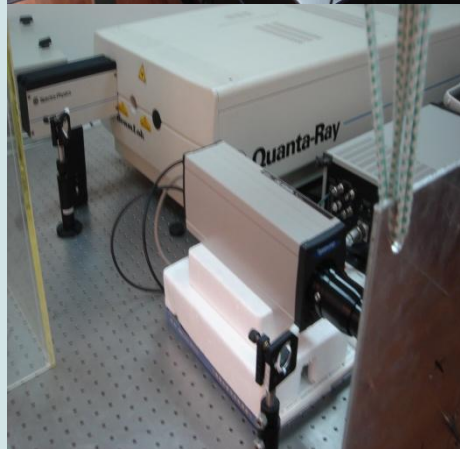
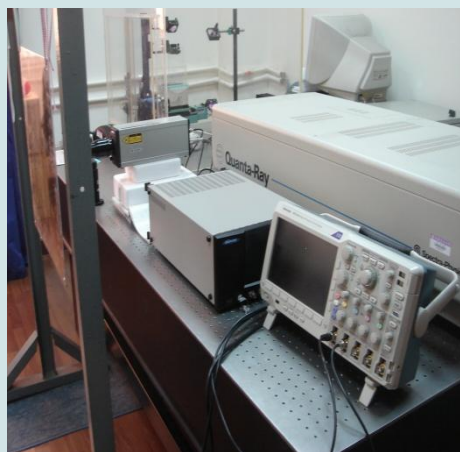


参数化频率时延分析



参数化时频分析-应用

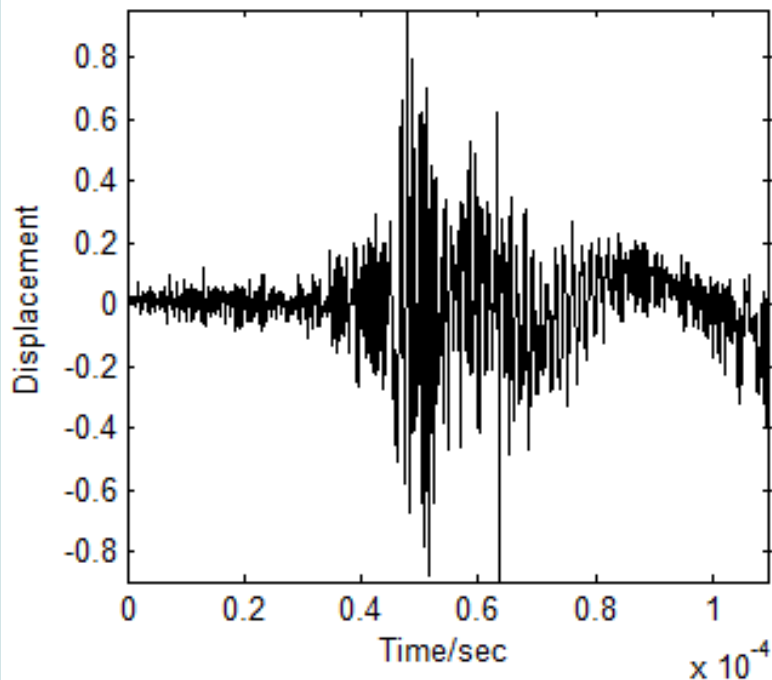
应用三：Lamb波群延迟分析



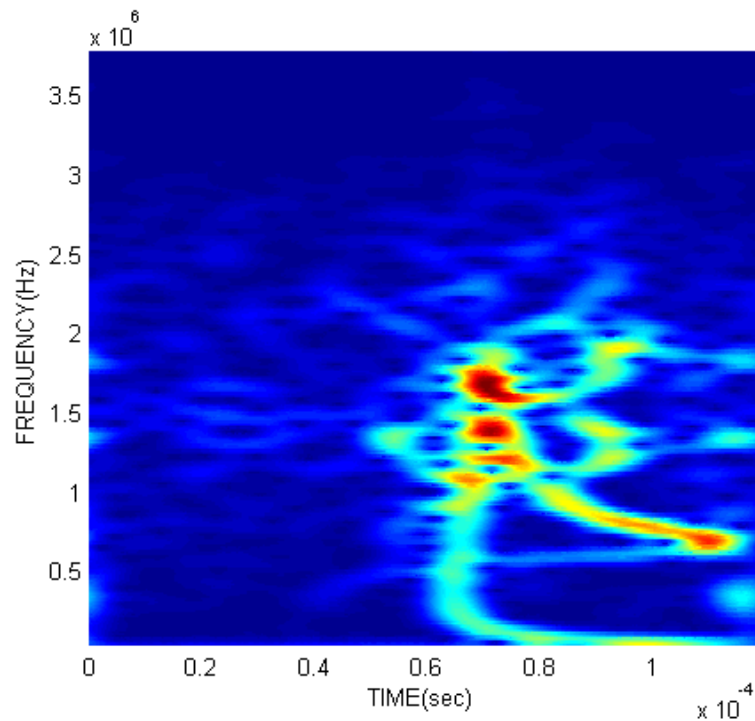
式测试体

参数化时频分析-应用

应用三：Lamb波群延迟分析



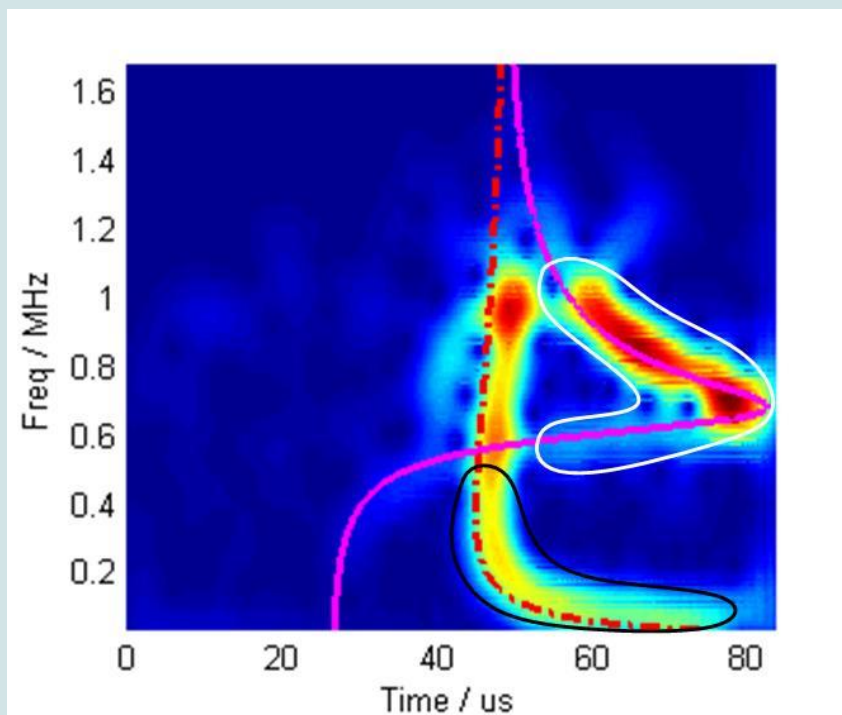
实验测试信号



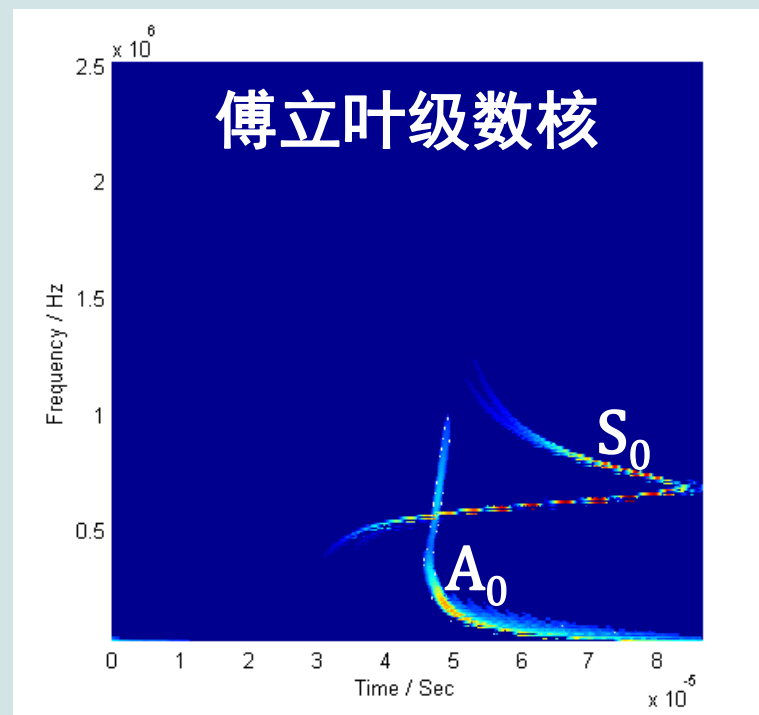
STFT

参数化时频分析-应用

应用三：Lamb波群延迟分析



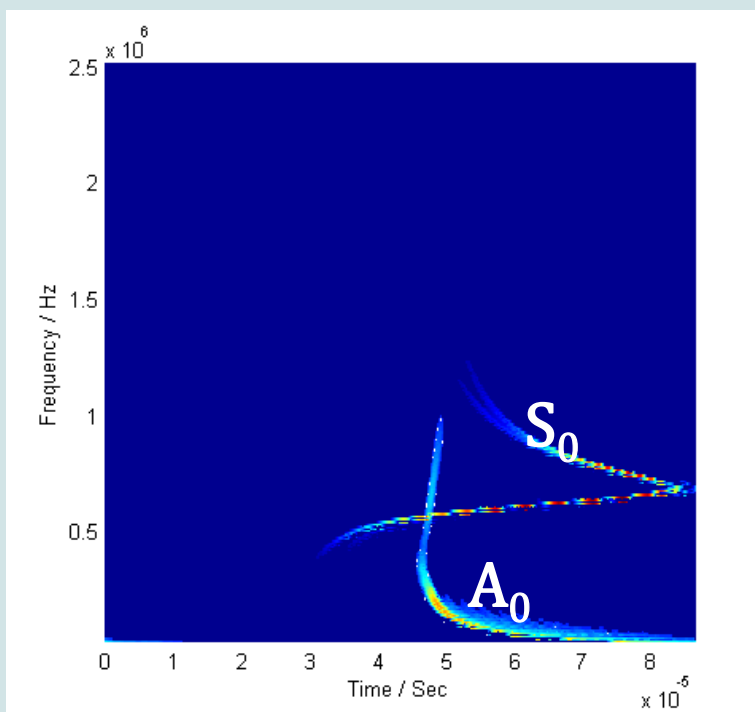
预处理后的STFT



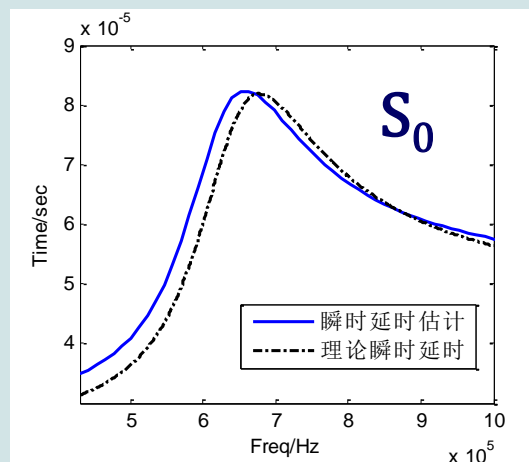
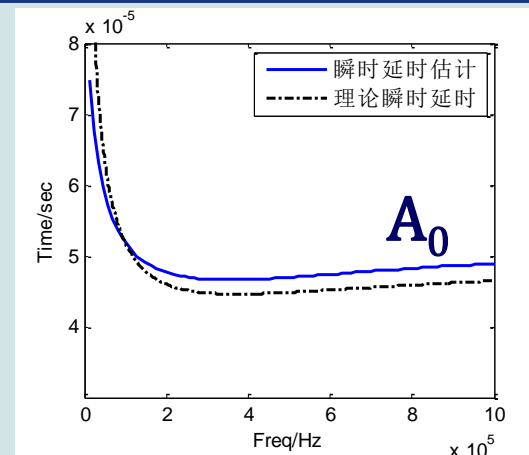
参数化频率时延分析结果

参数化时频分析-应用

应用三：Lamb波群延迟分析



参数化频率时延分析结果



谢谢聆听
欢迎交流